

Ein und Ausgabe: Farbmatisches Fernseh-Lichtfarben-System TLS00a für relativen CIELAB-Buntton $h^* = lab^*h^* = h_{ab}/360 = 0.071$

Daten für jede Farbe:

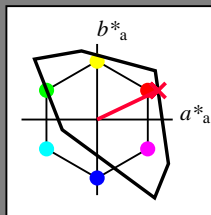
$lab^*_{tch^*}$ und $lab^*_{ncu^*}$

Elementar- und Geräte-

Bunttontext:

$u^* = r00j$ $d^* = m79o$

Dreiecks-Helligkeit t^*



TLS00a; adaptierte CIELAB-Daten					
Name	$L^*=L^*_a$	a^*_a	b^*_a	$C^*_{ab,a}$	$h^*_{ab,a}$
O _{Ma}	50.5	76.91	64.55	100.41	40
Y _{Ma}	92.66	-20.68	90.75	93.08	103
L _{Ma}	83.62	-82.74	79.9	115.02	136
C _{Ma}	86.88	-46.15	-13.54	48.1	196
V _{Ma}	30.39	76.06	-103.6	128.52	306
M _{Ma}	57.31	94.35	-58.4	110.96	328
N _{Ma}	0.01	0.0	0.0	0.0	0
W _{Ma}	95.41	0.0	0.0	0.0	0
R _{Ma}	39.92	58.74	27.99	65.07	25
J _{Ma}	81.26	-2.89	71.56	71.62	92
G _{Ma}	52.23	-42.42	13.6	44.55	162
B _{Ma}	30.57	1.41	-46.47	46.49	272

Daten für Maximalfarbe (Ma):

$LAB^*_{LAB^*Ma}$: 52 81 38

$LAB^*_{LCH^*Ma}$: 52 89 25

$lab^*_{rgb^*Ma}$: 1.0 0.0 0.0

$lab^*_{olv^*Ma}$: 1.0 0.0 0.2

Dreiecks-Helligkeit t^*

%Umfang

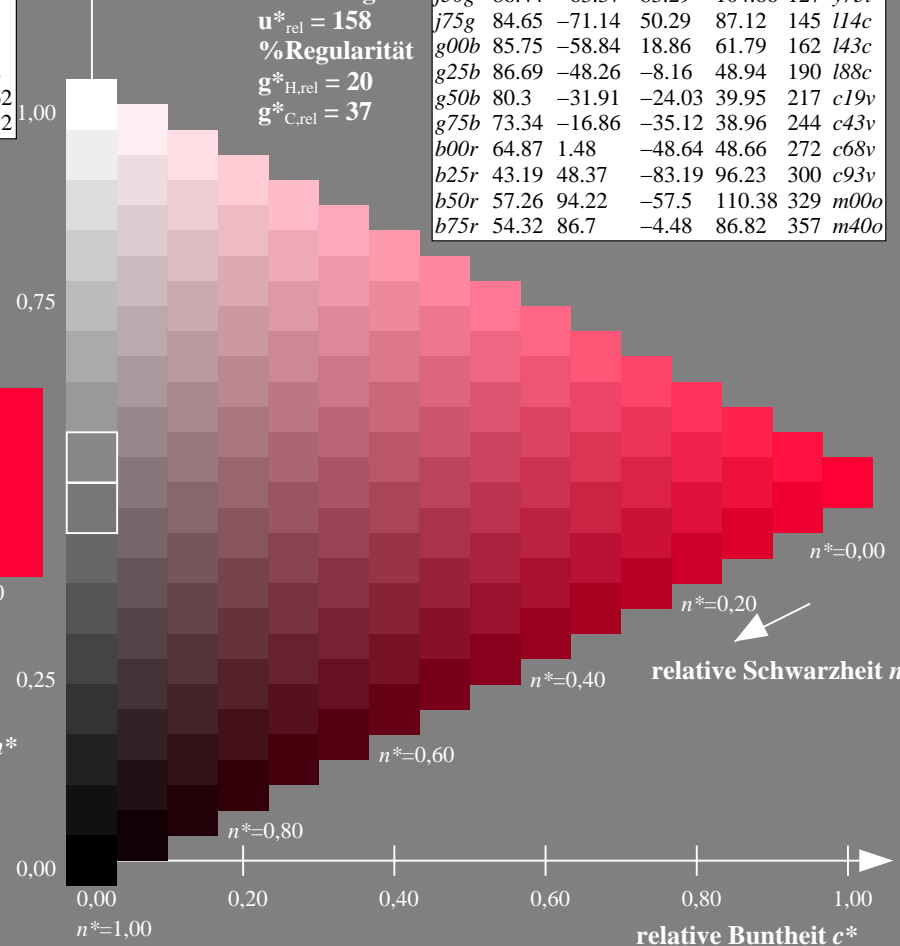
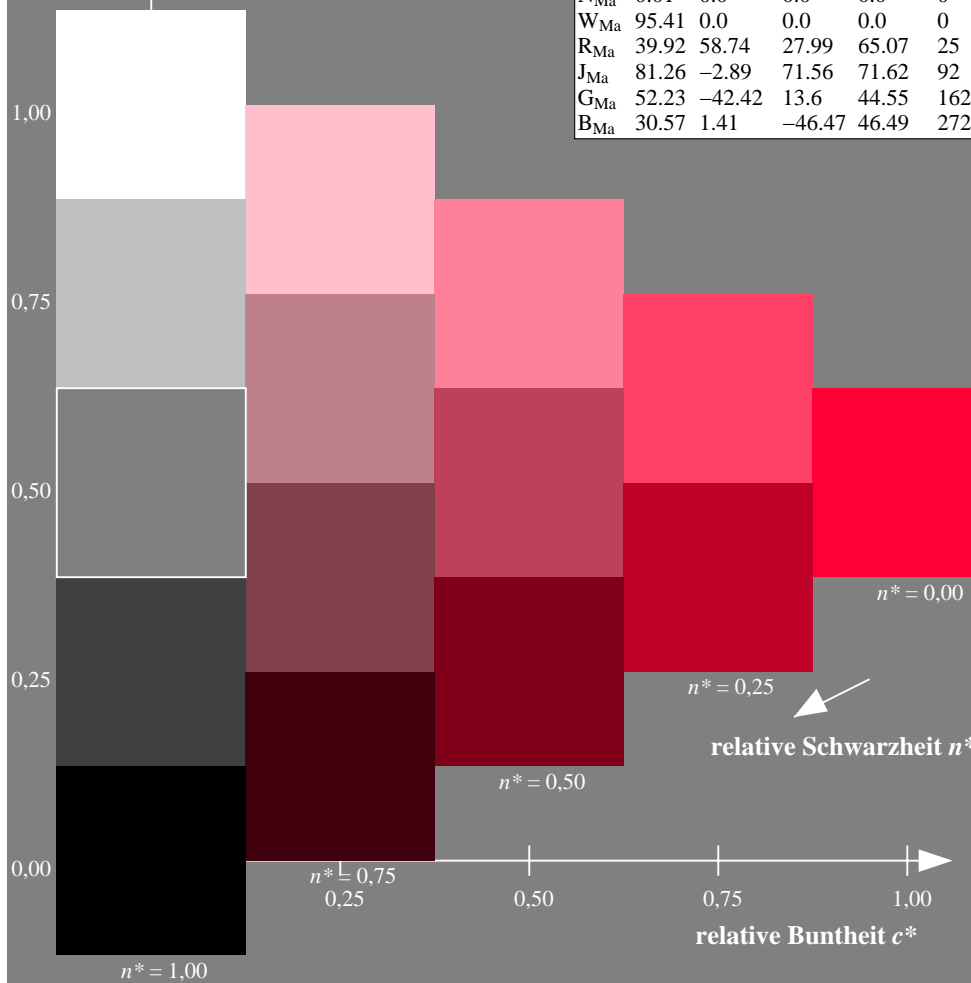
$u^*_{rel} = 158$

%Regularität

$g^*_{H,rel} = 20$

$g^*_{C,rel} = 37$

TLS00a; adaptierte CIELAB-Daten						
u^*	$L^*=L^*_a$	a^*_a	b^*_a	$C^*_{ab,a}$	$h^*_{ab,a}$	d^*
r00j	51.95	80.62	38.41	89.3	25	m79o
r25j	52.4	72.52	65.73	97.88	42	o03y
r50j	64.61	44.24	73.32	85.63	59	o30y
r75j	74.89	20.46	79.71	82.29	76	o56y
j00g	85.23	-3.48	86.13	86.2	92	o82y
j25g	91.02	-31.95	88.78	94.35	110	y21l
j50g	86.44	-63.37	83.29	104.66	127	y73l
j75g	84.65	-71.14	50.29	87.12	145	l14c
g00b	85.75	-58.84	18.86	61.79	162	l43c
g25b	86.69	-48.26	-8.16	48.94	190	l88c
g50b	80.3	-31.91	-24.03	39.95	217	c19v
g75b	73.34	-16.86	-35.12	38.96	244	c43v
b00r	64.87	1.48	-48.64	48.66	272	c68v
b25r	43.19	48.37	-83.19	96.23	300	c93v
b50r	57.26	94.22	-57.5	110.38	329	m00o
b75r	54.32	86.7	-4.48	86.82	357	m40o



Ein und Ausgabe: Farbmatisches Fernseh-Lichtfarben-System TLS00a für relativen CIELAB-Buntton $h^* = lab^*h^* = h_{ab}/360 = 0.117$

Daten für jede Farbe:

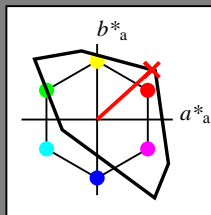
$lab^*_{tch^*}$ und $lab^*_{ncu^*}$

Elementar- und Geräte-

Bunttontext:

$u^* = r25j$ $d^* = o03y$

Dreiecks-Helligkeit t^*



TLS00a; adaptierte CIELAB-Daten					
Name	$L^*=L^*_a$	a^*_a	b^*_a	$C^*_{ab,a}$	$h^*_{ab,a}$
O _{Ma}	50.5	76.91	64.55	100.41	40
Y _{Ma}	92.66	-20.68	90.75	93.08	103
L _{Ma}	83.62	-82.74	79.9	115.02	136
C _{Ma}	86.88	-46.15	-13.54	48.1	196
V _{Ma}	30.39	76.06	-103.6	128.52	306
M _{Ma}	57.31	94.35	-58.4	110.96	328
N _{Ma}	0.01	0.0	0.0	0.0	0
W _{Ma}	95.41	0.0	0.0	0.0	0
R _{Ma}	39.92	58.74	27.99	65.07	25
J _{Ma}	81.26	-2.89	71.56	71.62	92
G _{Ma}	52.23	-42.42	13.6	44.55	162
B _{Ma}	30.57	1.41	-46.47	46.49	272

Daten für Maximalfarbe (Ma):

$LAB^*_{LAB^*Ma}$: 52 73 66

$LAB^*_{LCH^*Ma}$: 52 98 42

$lab^*_{rgb^*Ma}$: 1.0 0.25 0.0

$lab^*_{olv^*Ma}$: 1.0 0.03 0.0

Dreiecks-Helligkeit t^*

%Umfang

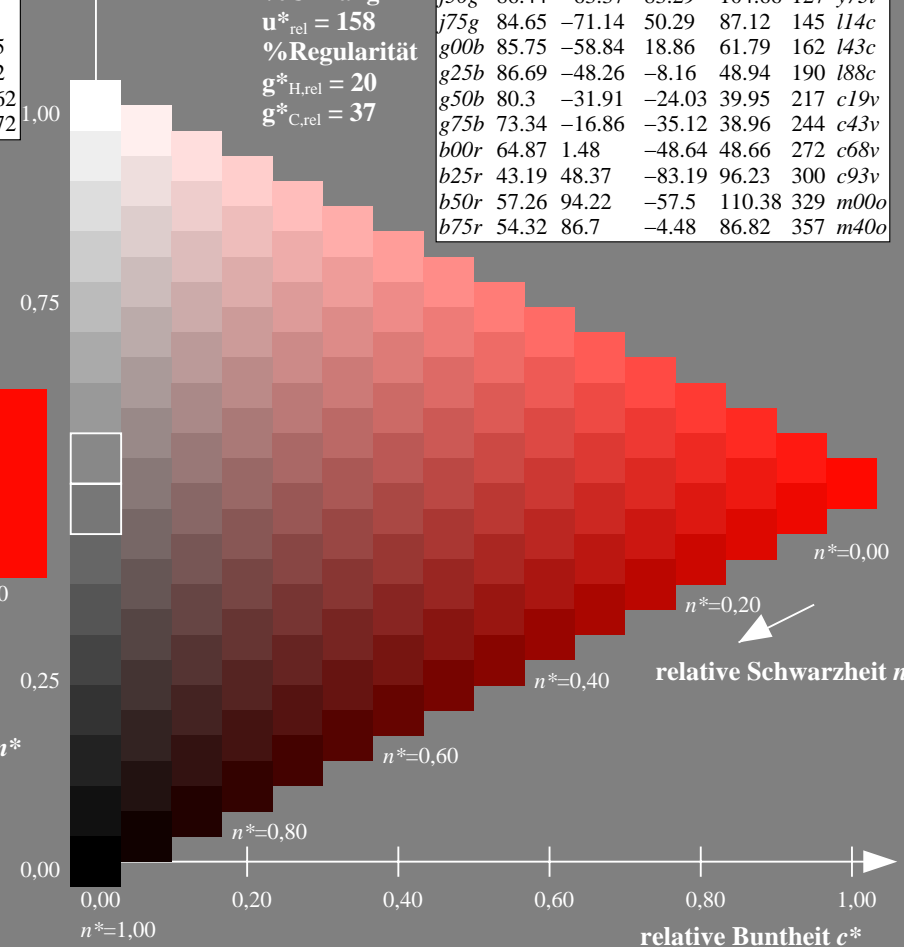
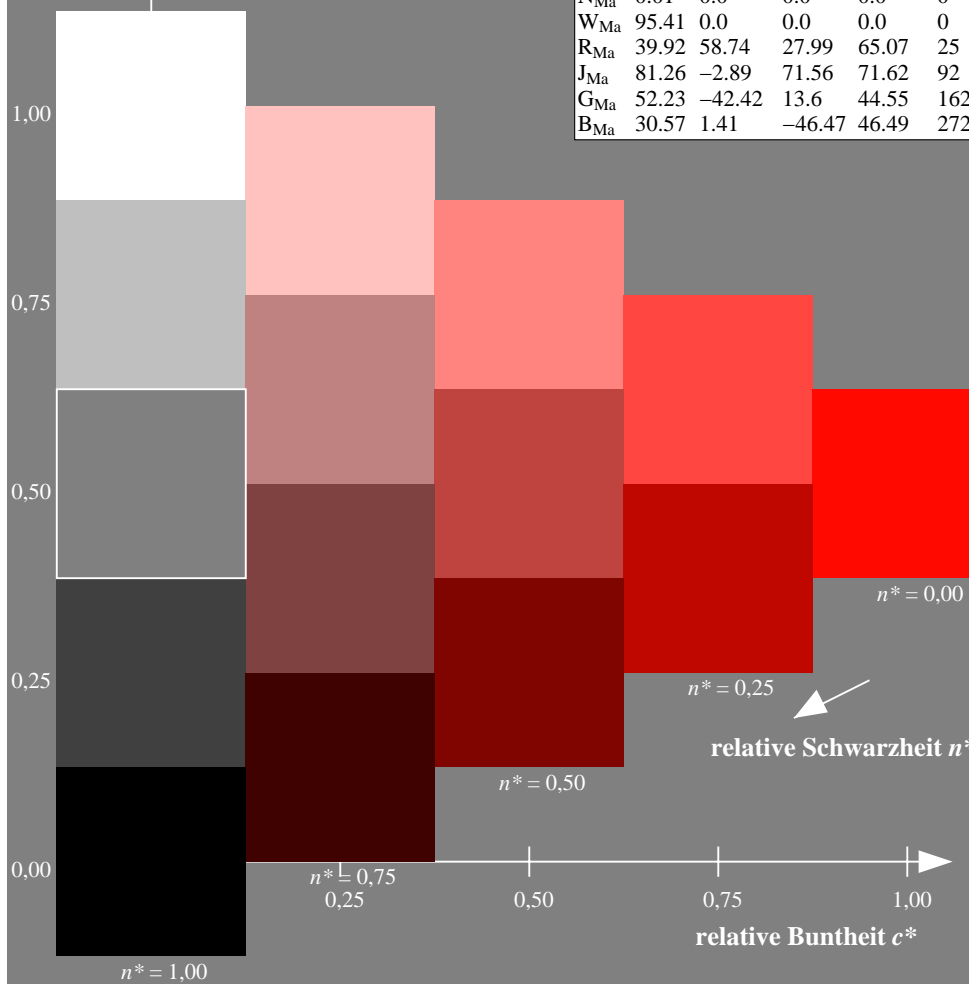
$u^*_{rel} = 158$

%Regularität

$g^*_{H,rel} = 20$

$g^*_{C,rel} = 37$

TLS00a; adaptierte CIELAB-Daten						
u^*	$L^*=L^*_a$	a^*_a	b^*_a	$C^*_{ab,a}$	$h^*_{ab,a}$	d^*
r00j	51.95	80.62	38.41	89.3	25	m79o
r25j	52.4	72.52	65.73	97.88	42	o03y
r50j	64.61	44.24	73.32	85.63	59	o30y
r75j	74.89	20.46	79.71	82.29	76	o56y
j00g	85.23	-3.48	86.13	86.2	92	o82y
j25g	91.02	-31.95	88.78	94.35	110	y21l
j50g	86.44	-63.37	83.29	104.66	127	y73l
j75g	84.65	-71.14	50.29	87.12	145	l14c
g00b	85.75	-58.84	18.86	61.79	162	l43c
g25b	86.69	-48.26	-8.16	48.94	190	l88c
g50b	80.3	-31.91	-24.03	39.95	217	c19v
g75b	73.34	-16.86	-35.12	38.96	244	c43v
b00r	64.87	1.48	-48.64	48.66	272	c68v
b25r	43.19	48.37	-83.19	96.23	300	c93v
b50r	57.26	94.22	-57.5	110.38	329	m00o
b75r	54.32	86.7	-4.48	86.82	357	m40o



Siehe Original/Kopie: <http://web.me.com/klaus.richter/IG57/IG57L0NA.PS/.TXT>
Technische Information: <http://www.ps.bam.de> oder <http://130.149.60.45/~farbmetrik>

TUB-Registrierung: 20090901-IG57/IG57L0NA.PS/.TXT
Anwendung für Ausgabe von visuellen Display-Systemen

TUB-Material: Code=rh4ta

Ein und Ausgabe: Farbmatisches Fernseh-Lichtfarben-System TLS00a für relativen CIELAB-Buntton $h^* = lab^*h^* = h_{ab}/360 = 0.164$

Daten für jede Farbe:

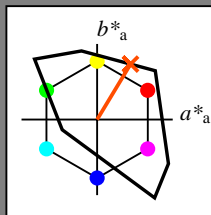
$lab^*_{tch^*}$ und $lab^*_{ncu^*}$

Elementar- und Geräte-

Bunttontext:

$u^* = r50j$ $d^* = o30y$

Dreiecks-Helligkeit t^*



TLS00a; adaptierte CIELAB-Daten					
Name	$L^*=L^*_a$	a^*_a	b^*_a	$C^*_{ab,a}$	$h^*_{ab,a}$
O _{Ma}	50.5	76.91	64.55	100.41	40
Y _{Ma}	92.66	-20.68	90.75	93.08	103
L _{Ma}	83.62	-82.74	79.9	115.02	136
C _{Ma}	86.88	-46.15	-13.54	48.1	196
V _{Ma}	30.39	76.06	-103.6	128.52	306
M _{Ma}	57.31	94.35	-58.4	110.96	328
N _{Ma}	0.01	0.0	0.0	0.0	0
W _{Ma}	95.41	0.0	0.0	0.0	0
R _{Ma}	39.92	58.74	27.99	65.07	25
J _{Ma}	81.26	-2.89	71.56	71.62	92
G _{Ma}	52.23	-42.42	13.6	44.55	162
B _{Ma}	30.57	1.41	-46.47	46.49	272

Daten für Maximalfarbe (Ma):

$LAB^*_{LAB^*Ma}$: 65 44 73

$LAB^*_{LCH^*Ma}$: 65 86 58

$lab^*_{rgb^*Ma}$: 1.0 0.5 0.0

$lab^*_{olv^*Ma}$: 1.0 0.3 0.0

Dreiecks-Helligkeit t^*

%Umfang

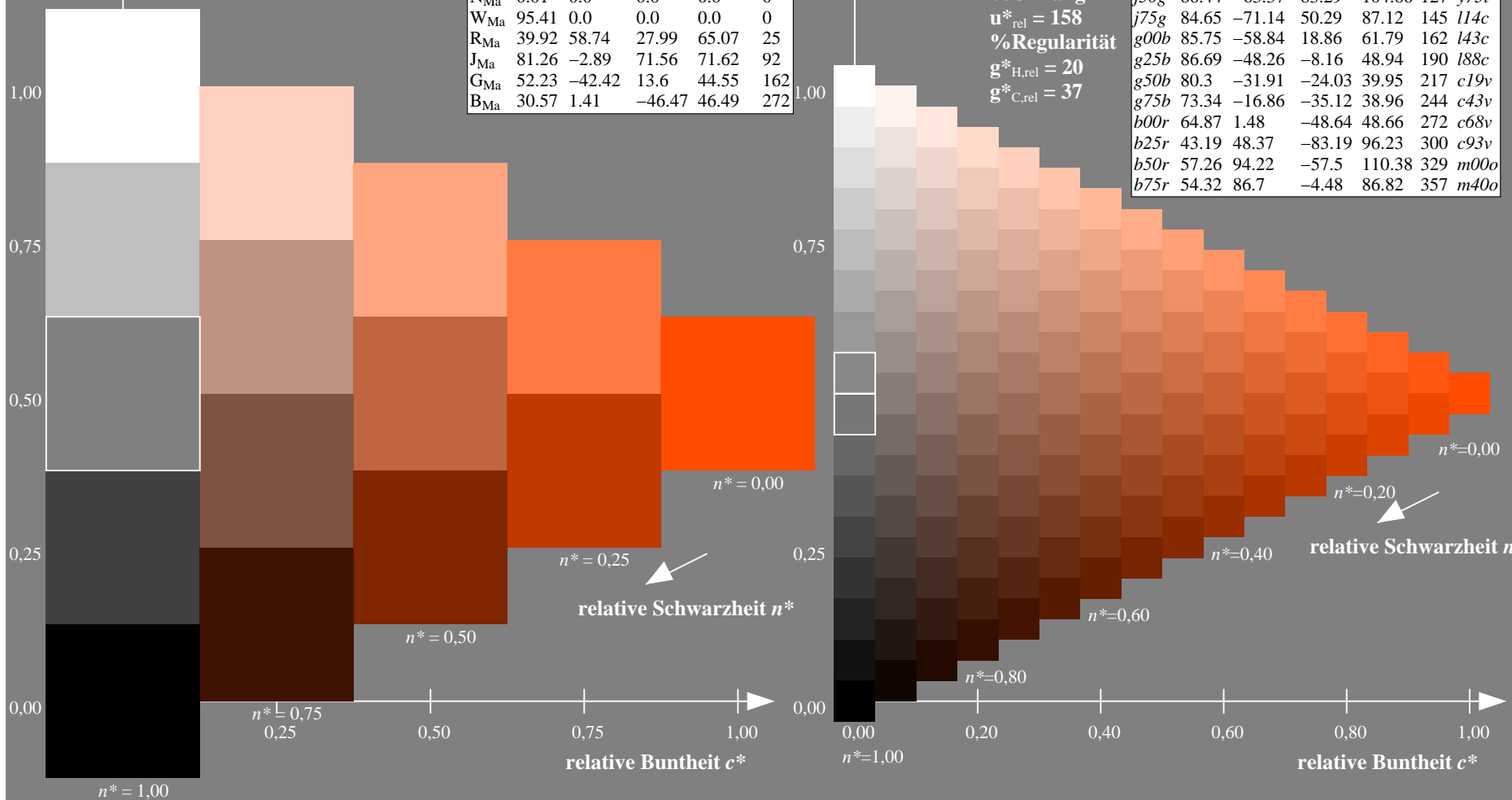
$u^*_{rel} = 158$

%Regularität

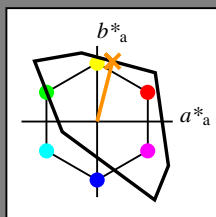
$g^*_{H,rel} = 20$

$g^*_{C,rel} = 37$

TLS00a; adaptierte CIELAB-Daten						
u^*	$L^*=L^*_a$	a^*_a	b^*_a	$C^*_{ab,a}$	$h^*_{ab,a}$	d^*
r00j	51.95	80.62	38.41	89.3	25	m79o
r25j	52.4	72.52	65.73	97.88	42	o03y
r50j	64.61	44.24	73.32	85.63	59	o30y
r75j	74.89	20.46	79.71	82.29	76	o56y
j00g	85.23	-3.48	86.13	86.2	92	o82y
j25g	91.02	-31.95	88.78	94.35	110	y21l
j50g	86.44	-63.37	83.29	104.66	127	y73l
j75g	84.65	-71.14	50.29	87.12	145	l14c
g00b	85.75	-58.84	18.86	61.79	162	l43c
g25b	86.69	-48.26	-8.16	48.94	190	l88c
g50b	80.3	-31.91	-24.03	39.95	217	c19v
g75b	73.34	-16.86	-35.12	38.96	244	c43v
b00r	64.87	1.48	-48.64	48.66	272	c68v
b25r	43.19	48.37	-83.19	96.23	300	c93v
b50r	57.26	94.22	-57.5	110.38	329	m00o
b75r	54.32	86.7	-4.48	86.82	357	m40o



Ein und Ausgabe: Farbmétrisches Fernseh-Lichtfarben-System TLS00a für relativen CIELAB-Buntton $h^* = lab^*h^* = h_{ab}/360 = 0.21$
Daten für jede Farbe:
 lab^*tch^* und lab^*ncu^*
Elementar- und Geräte-
Bunttontext:
 $u^* = r75j$ $d^* = o56y$



TLS00a; adaptierte CIELAB-Daten					
Name	$L^* = L_a^*$	a^*_a	b^*_a	$C^*_{ab,a}$	$h^*_{ab,a}$
OMa	50.5	76.91	64.55	100.41	40
YMa	92.66	-20.68	90.75	93.08	103
LMa	83.62	-82.74	79.9	115.02	136
CMa	86.88	-46.15	-13.54	48.1	196
VMa	30.39	76.06	-103.6	128.52	306
MMa	57.31	94.35	-58.4	110.96	328
NMa	0.01	0.0	0.0	0.0	0
WMa	95.41	0.0	0.0	0.0	0
RMa	39.92	58.74	27.99	65.07	25
JMa	81.26	-2.89	71.56	71.62	92
GMa	52.23	-42.42	13.6	44.55	162
BMa	30.57	1.41	-46.47	46.49	272

Daten für Maximalfarbe (Ma):
 $LAB^*LAB^*_{Ma}: 75 \ 20 \ 80$
 $LAB^*LCH^*_{Ma}: 75 \ 82 \ 75$
 $lab^*rgb^*_{Ma}: 1.0 \ 0.75 \ 0.0$
 $lab^*olv^*_{Ma}: 1.0 \ 0.57 \ 0.0$

TLS00a; adaptierte CIELAB-Daten						
u^*	$L^* = L_a^*$	a^*_a	b^*_a	$C^*_{ab,a}$	$h^*_{ab,a}$	d^*
r00j	51.95	80.62	38.41	89.3	25	m79o
r25j	52.4	72.52	65.73	97.88	42	o03y
r50j	64.61	44.24	73.32	85.63	59	o30y
r75j	74.89	20.46	79.71	82.29	76	o56y
j00g	85.23	-3.48	86.13	86.2	92	o82y
j25g	91.02	-31.95	88.78	94.35	110	y21l
j50g	86.44	-63.37	83.29	104.66	127	y73l
j75g	84.65	-71.14	50.29	87.12	145	l14c
g00b	85.75	-58.84	18.86	61.79	162	l43c
g25b	86.69	-48.26	-8.16	48.94	190	l88c
g50b	80.3	-31.91	-24.03	39.95	217	c19v
g75b	73.34	-16.86	-35.12	38.96	244	c43v
b00r	64.87	1.48	-48.64	48.66	272	c68v
b25r	43.19	48.37	-83.19	96.23	300	c93v
b50r	57.26	94.22	-57.5	110.38	329	m00o
b75r	54.32	86.7	-4.48	86.82	357	m40o

Dreiecks-Helligkeit t^*

%Umfang

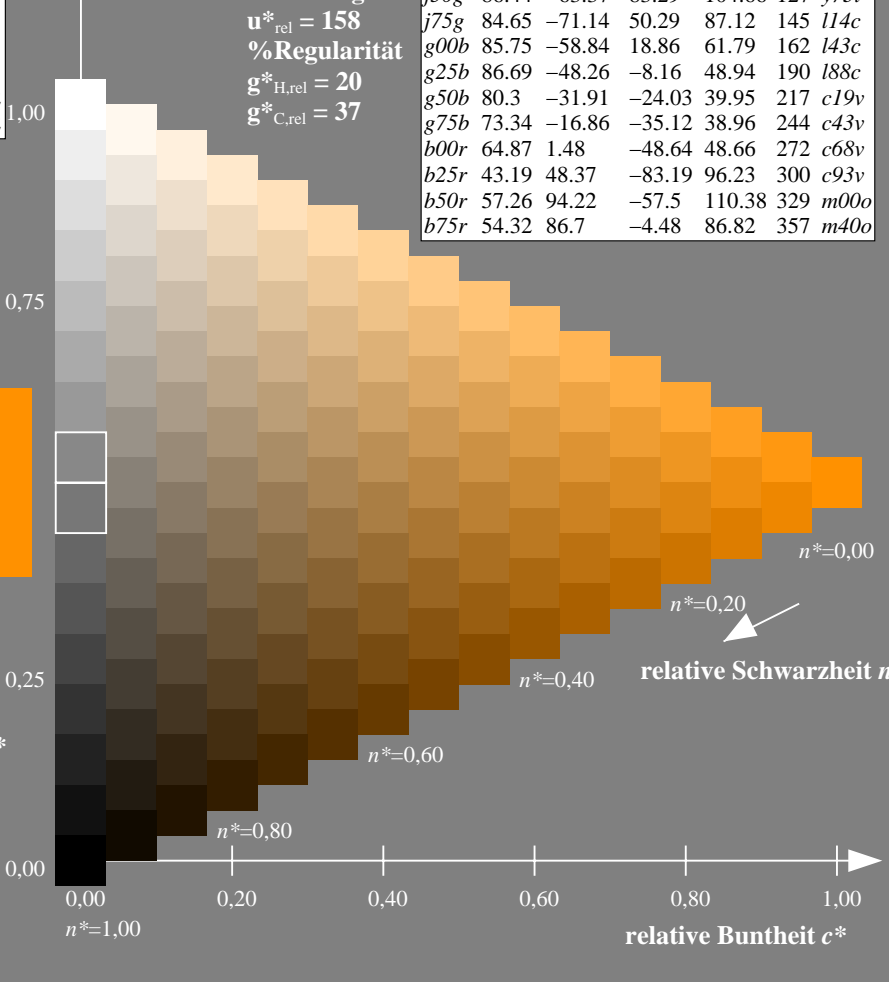
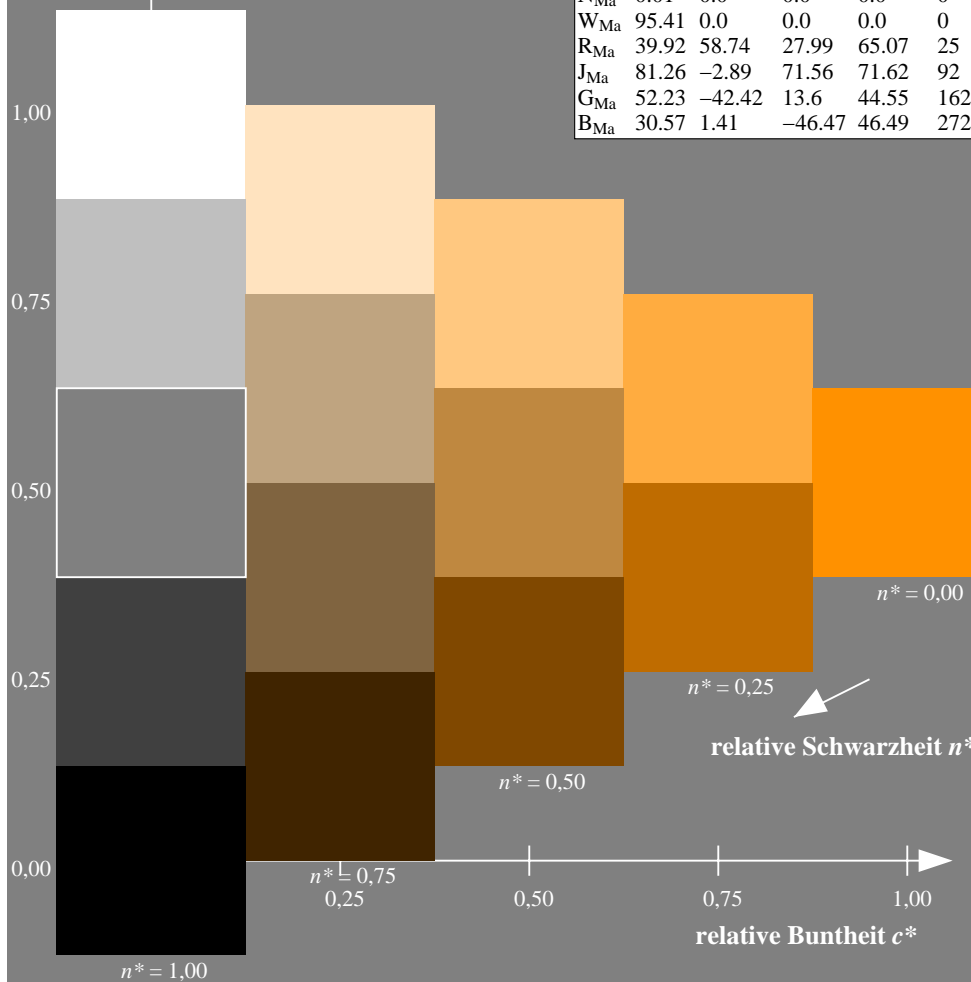
$u^*_{rel} = 158$

%Regularität

$g^*_{H,rel} = 20$

$g^*_{C,rel} = 37$

Dreiecks-Helligkeit t^*



Ein und Ausgabe: Farbmétrisches Fernseh-Lichtfarben-System TLS00a für relativen CIELAB-Buntton $h^* = lab^*h^* = h_{ab}/360 = 0.256$

Daten für jede Farbe:

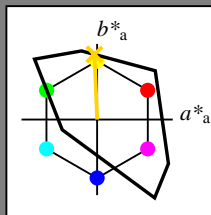
lab^*tch^* und lab^*ncu^*

Elementar- und Geräte-

Bunttontext:

$u^* = j00g$ $d^* = o82y$

Dreiecks-Helligkeit t^*



TLS00a; adaptierte CIELAB-Daten					
Name	$L^*=L_a^*$	a^*_a	b^*_a	$C^*_{ab,a}$	$h^*_{ab,a}$
O _{Ma}	50.5	76.91	64.55	100.41	40
Y _{Ma}	92.66	-20.68	90.75	93.08	103
L _{Ma}	83.62	-82.74	79.9	115.02	136
C _{Ma}	86.88	-46.15	-13.54	48.1	196
V _{Ma}	30.39	76.06	-103.6	128.52	306
M _{Ma}	57.31	94.35	-58.4	110.96	328
N _{Ma}	0.01	0.0	0.0	0.0	0
W _{Ma}	95.41	0.0	0.0	0.0	0
R _{Ma}	39.92	58.74	27.99	65.07	25
J _{Ma}	81.26	-2.89	71.56	71.62	92
G _{Ma}	52.23	-42.42	13.6	44.55	162
B _{Ma}	30.57	1.41	-46.47	46.49	272

Daten für Maximalfarbe (Ma):

$LAB^*LAB^*_{Ma}$: 85 -3 86

$LAB^*LCH^*_{Ma}$: 85 86 92

$lab^*rgb^*_{Ma}$: 1.0 1.0 0.0

$lab^*olv^*_{Ma}$: 1.0 0.83 0.0

Dreiecks-Helligkeit t^*

%Umfang

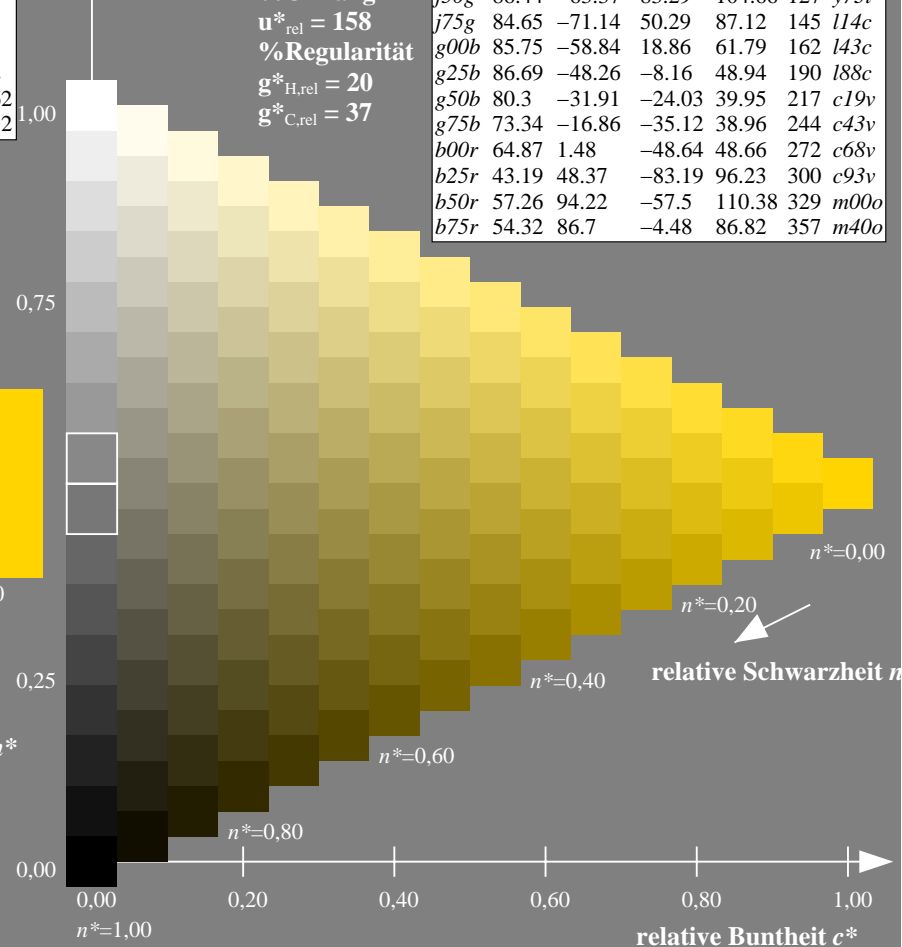
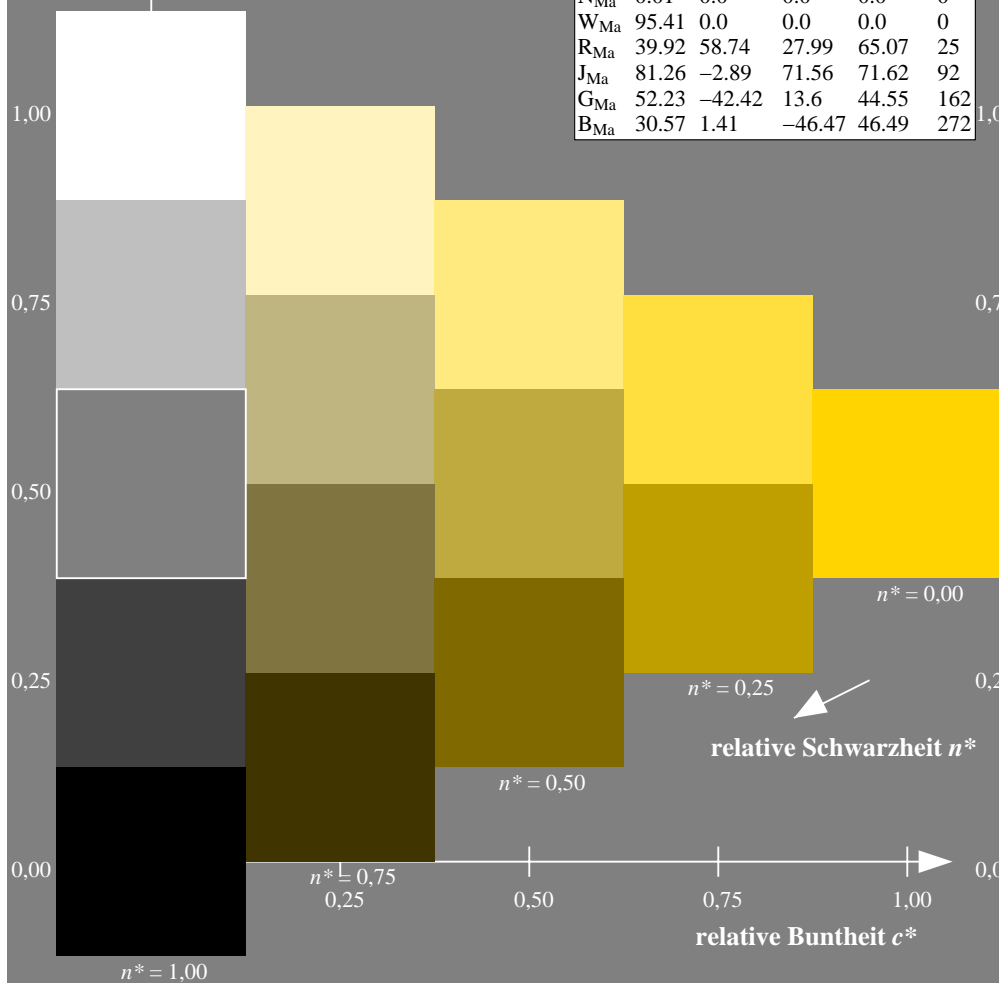
$u^*_{rel} = 158$

%Regularität

$g^*_{H,rel} = 20$

$g^*_{C,rel} = 37$

TLS00a; adaptierte CIELAB-Daten						
u^*	$L^*=L_a^*$	a^*_a	b^*_a	$C^*_{ab,a}$	$h^*_{ab,a}$	d^*
r00j	51.95	80.62	38.41	89.3	25	m79o
r25j	52.4	72.52	65.73	97.88	42	o03y
r50j	64.61	44.24	73.32	85.63	59	o30y
r75j	74.89	20.46	79.71	82.29	76	o56y
j00g	85.23	-3.48	86.13	86.2	92	o82y
j25g	91.02	-31.95	88.78	94.35	110	y21l
j50g	86.44	-63.37	83.29	104.66	127	y73l
j75g	84.65	-71.14	50.29	87.12	145	l14c
g00b	85.75	-58.84	18.86	61.79	162	l43c
g25b	86.69	-48.26	-8.16	48.94	190	l88c
g50b	80.3	-31.91	-24.03	39.95	217	c19v
g75b	73.34	-16.86	-35.12	38.96	244	c43v
b00r	64.87	1.48	-48.64	48.66	272	c68v
b25r	43.19	48.37	-83.19	96.23	300	c93v
b50r	57.26	94.22	-57.5	110.38	329	m00o
b75r	54.32	86.7	-4.48	86.82	357	m40o



Ein und Ausgabe: Farbmatisches Fernseh-Lichtfarben-System TLS00a für relativen CIELAB-Buntton $h^* = lab^*h^* = h_{ab}/360 = 0.305$

Daten für jede Farbe:

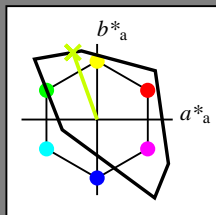
lab^*tch^* und lab^*ncu^*

Elementar- und Geräte-

Bunttontext:

$u^* = j25g$ $d^* = y21l$

Dreiecks-Helligkeit t^*



TLS00a; adaptierte CIELAB-Daten					
Name	$L^*=L_a^*$	a^*_a	b^*_a	$C^*_{ab,a}$	$h^*_{ab,a}$
O _{Ma}	50.5	76.91	64.55	100.41	40
Y _{Ma}	92.66	-20.68	90.75	93.08	103
L _{Ma}	83.62	-82.74	79.9	115.02	136
C _{Ma}	86.88	-46.15	-13.54	48.1	196
V _{Ma}	30.39	76.06	-103.6	128.52	306
M _{Ma}	57.31	94.35	-58.4	110.96	328
N _{Ma}	0.01	0.0	0.0	0.0	0
W _{Ma}	95.41	0.0	0.0	0.0	0
R _{Ma}	39.92	58.74	27.99	65.07	25
J _{Ma}	81.26	-2.89	71.56	71.62	92
G _{Ma}	52.23	-42.42	13.6	44.55	162
B _{Ma}	30.57	1.41	-46.47	46.49	272

Daten für Maximalfarbe (Ma):

$LAB^*LAB^*_{Ma}$: 91 -32 89

$LAB^*LCH^*_{Ma}$: 91 94 109

$lab^*rgb^*_{Ma}$: 0.75 1.0 0.0

$lab^*olv^*_{Ma}$: 0.79 1.0 0.0

Dreiecks-Helligkeit t^*

%Umfang

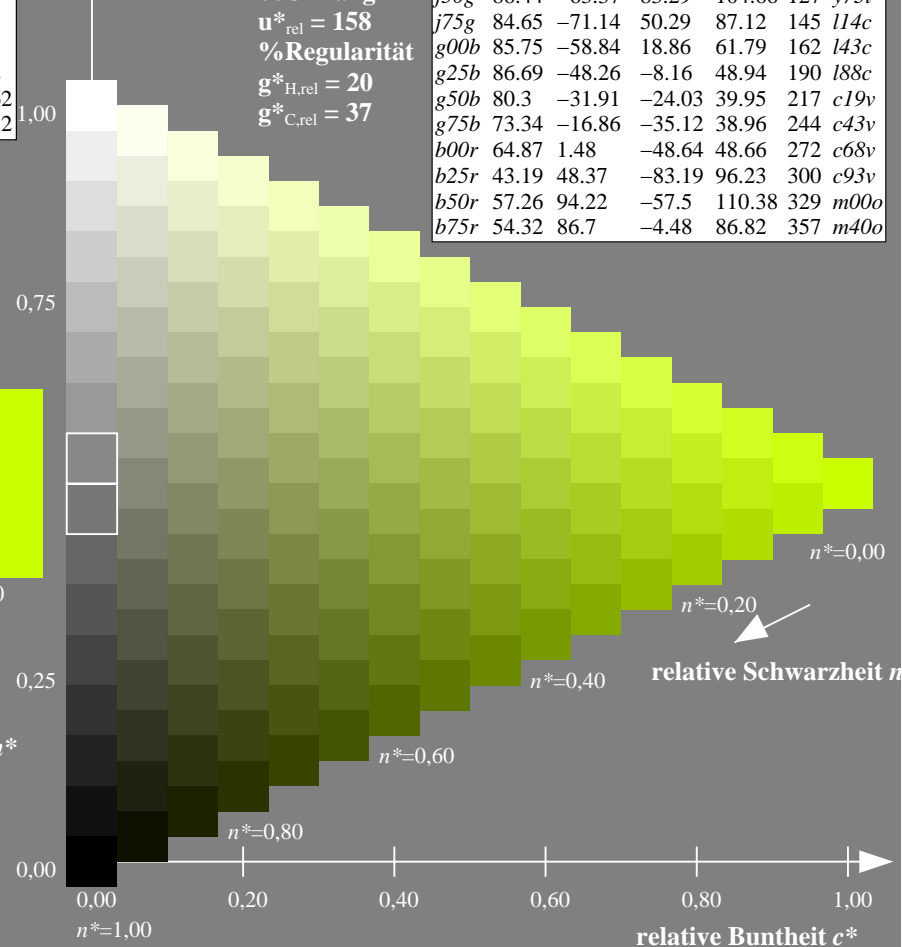
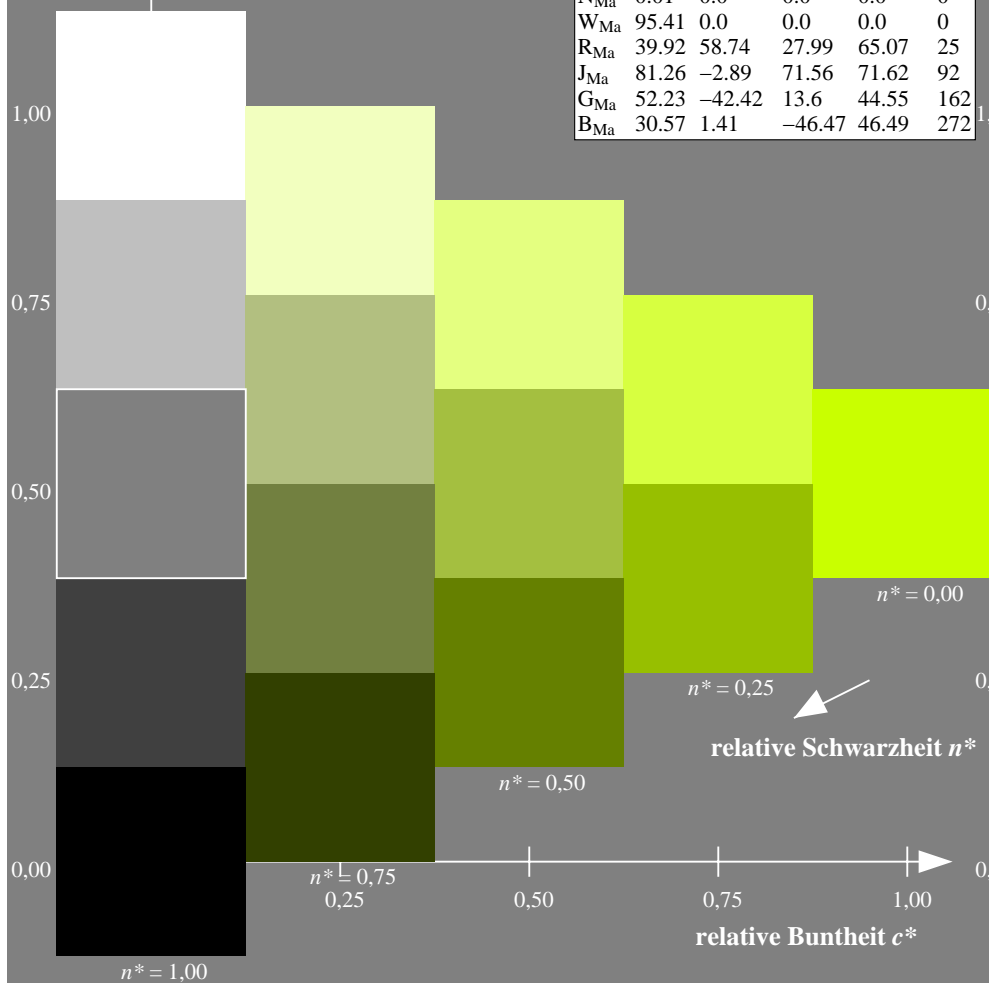
$u^*_{rel} = 158$

%Regularität

$g^*_{H,rel} = 20$

$g^*_{C,rel} = 37$

TLS00a; adaptierte CIELAB-Daten						
u^*	$L^*=L_a^*$	a^*_a	b^*_a	$C^*_{ab,a}$	$h^*_{ab,a}$	d^*
r00j	51.95	80.62	38.41	89.3	25	m79o
r25j	52.4	72.52	65.73	97.88	42	o03y
r50j	64.61	44.24	73.32	85.63	59	o30y
r75j	74.89	20.46	79.71	82.29	76	o56y
j00g	85.23	-3.48	86.13	86.2	92	o82y
j25g	91.02	-31.95	88.78	94.35	110	y21l
j50g	86.44	-63.37	83.29	104.66	127	y73l
j75g	84.65	-71.14	50.29	87.12	145	l14c
g00b	85.75	-58.84	18.86	61.79	162	l43c
g25b	86.69	-48.26	-8.16	48.94	190	l88c
g50b	80.3	-31.91	-24.03	39.95	217	c19v
g75b	73.34	-16.86	-35.12	38.96	244	c43v
b00r	64.87	1.48	-48.64	48.66	272	c68v
b25r	43.19	48.37	-83.19	96.23	300	c93v
b50r	57.26	94.22	-57.5	110.38	329	m00o
b75r	54.32	86.7	-4.48	86.82	357	m40o



Ein und Ausgabe: Farbmétrisches Fernseh-Lichtfarben-System TLS00a für relativen CIELAB-Buntton $h^* = lab^*h^* = h_{ab}/360 = 0.354$

Daten für jede Farbe:

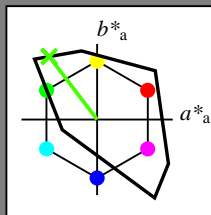
lab^*tch^* und lab^*ncu^*

Elementar- und Geräte-

Bunttontext:

$u^* = j50g$ $d^* = y73l$

Dreiecks-Helligkeit t^*



TLS00a; adaptierte CIELAB-Daten						
Name	L^*_a	a^*_a	b^*_a	$C^*_{ab,a}$	$h^*_{ab,a}$	
O _{Ma}	50.5	76.91	64.55	100.41	40	
Y _{Ma}	92.66	-20.68	90.75	93.08	103	
L _{Ma}	83.62	-82.74	79.9	115.02	136	
C _{Ma}	86.88	-46.15	-13.54	48.1	196	
V _{Ma}	30.39	76.06	-103.6	128.52	306	
M _{Ma}	57.31	94.35	-58.4	110.96	328	
N _{Ma}	0.01	0.0	0.0	0.0	0	
W _{Ma}	95.41	0.0	0.0	0.0	0	
R _{Ma}	39.92	58.74	27.99	65.07	25	
J _{Ma}	81.26	-2.89	71.56	71.62	92	
G _{Ma}	52.23	-42.42	13.6	44.55	162	
B _{Ma}	30.57	1.41	-46.47	46.49	272	

Daten für Maximalfarbe (Ma):

$LAB^*LAB^*_{Ma}$: 86 -63 83

$LAB^*LCH^*_{Ma}$: 86 105 127

$lab^*rgb^*_{Ma}$: 0.5 1.0 0.0

$lab^*olv^*_{Ma}$: 0.26 1.0 0.0

Dreiecks-Helligkeit t^*

%Umfang

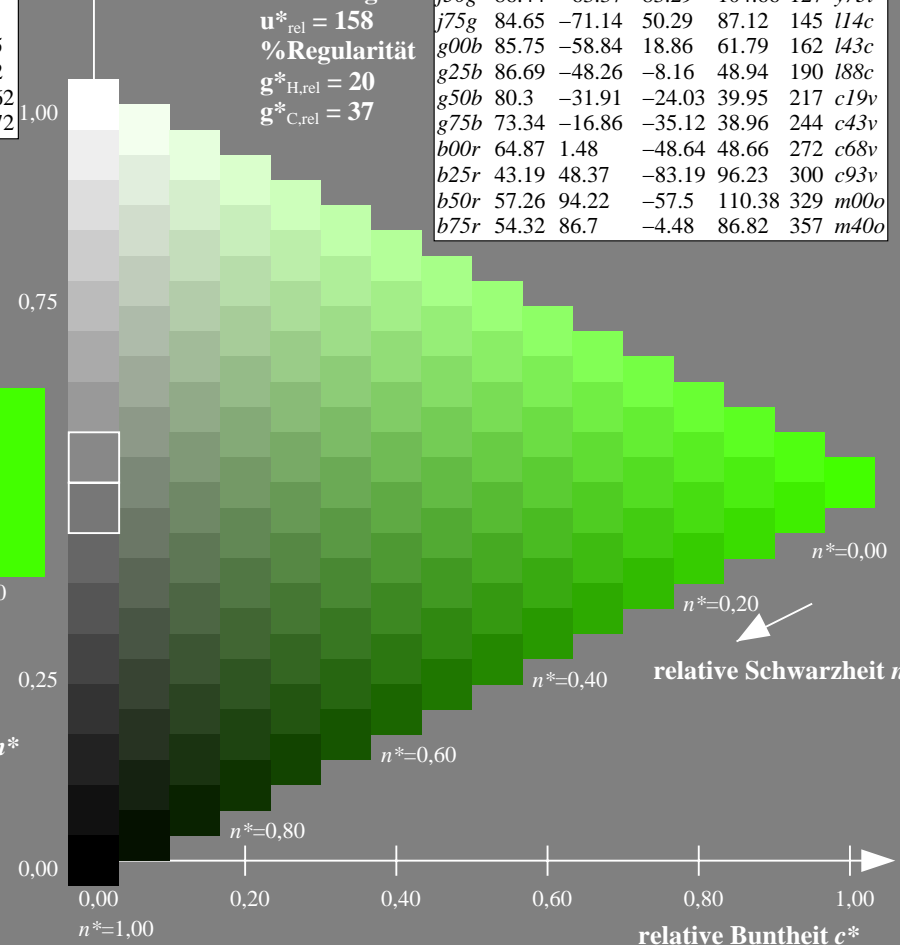
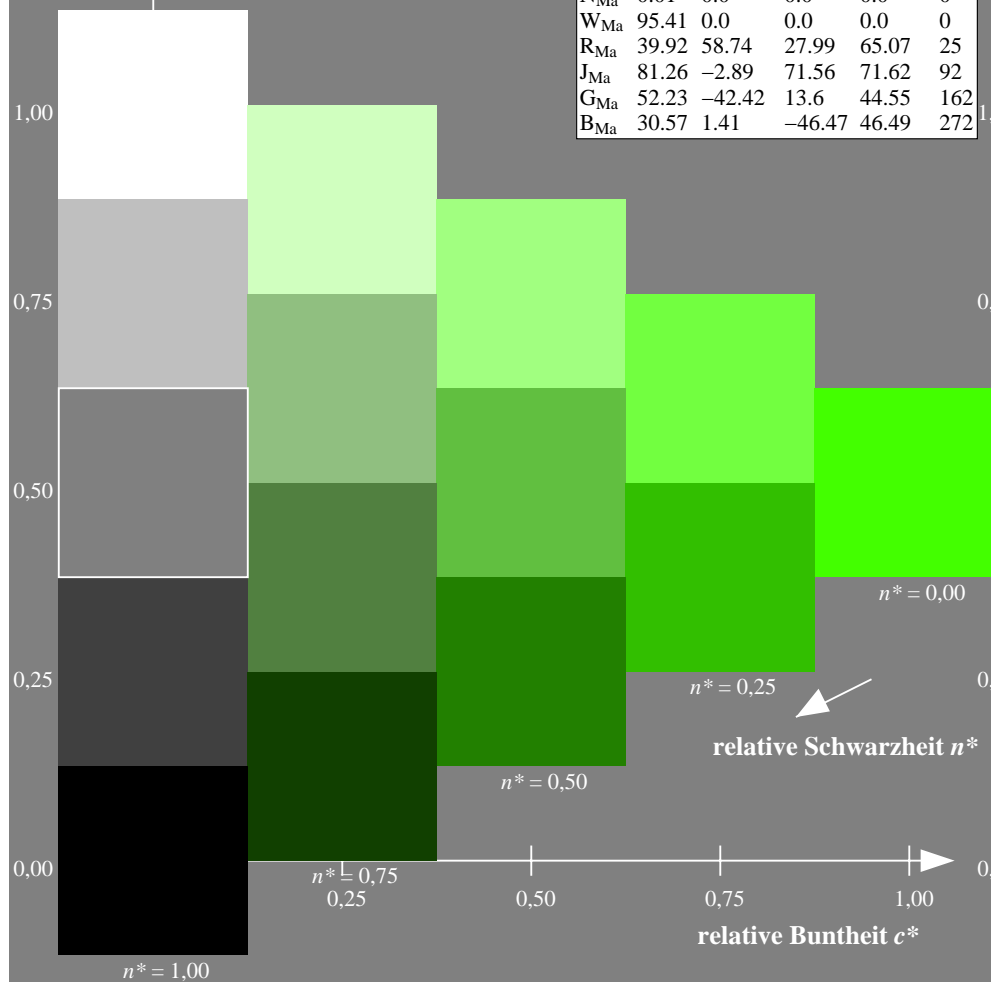
$u^*_{rel} = 158$

%Regularität

$g^*_{H,rel} = 20$

$g^*_{C,rel} = 37$

TLS00a; adaptierte CIELAB-Daten						
u^*	L^*_a	a^*_a	b^*_a	$C^*_{ab,a}$	$h^*_{ab,a}$	d^*
r00j	51.95	80.62	38.41	89.3	25	m79o
r25j	52.4	72.52	65.73	97.88	42	o03y
r50j	64.61	44.24	73.32	85.63	59	o30y
r75j	74.89	20.46	79.71	82.29	76	o56y
j00g	85.23	-3.48	86.13	86.2	92	o82y
j25g	91.02	-31.95	88.78	94.35	110	y21l
j50g	86.44	-63.37	83.29	104.66	127	y73l
j75g	84.65	-71.14	50.29	87.12	145	l14c
g00b	85.75	-58.84	18.86	61.79	162	l43c
g25b	86.69	-48.26	-8.16	48.94	190	l88c
g50b	80.3	-31.91	-24.03	39.95	217	c19v
g75b	73.34	-16.86	-35.12	38.96	244	c43v
b00r	64.87	1.48	-48.64	48.66	272	c68v
b25r	43.19	48.37	-83.19	96.23	300	c93v
b50r	57.26	94.22	-57.5	110.38	329	m00o
b75r	54.32	86.7	-4.48	86.82	357	m40o



Ein und Ausgabe: Farbmatisches Fernseh-Lichtfarben-System TLS00a für relativen CIELAB-Buntton $h^* = lab^*h^* = h_{ab}/360 = 0.402$

Daten für jede Farbe:

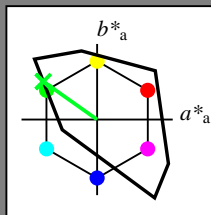
lab^*tch^* und lab^*ncu^*

Elementar- und Geräte-

Bunttontext:

$u^* = j75g$ $d^* = l14c$

Dreiecks-Helligkeit t^*



TLS00a; adaptierte CIELAB-Daten					
Name	L^*_a	a^*_a	b^*_a	$C^*_{ab,a}$	$h^*_{ab,a}$
O _{Ma}	50.5	76.91	64.55	100.41	40
Y _{Ma}	92.66	-20.68	90.75	93.08	103
L _{Ma}	83.62	-82.74	79.9	115.02	136
C _{Ma}	86.88	-46.15	-13.54	48.1	196
V _{Ma}	30.39	76.06	-103.6	128.52	306
M _{Ma}	57.31	94.35	-58.4	110.96	328
N _{Ma}	0.01	0.0	0.0	0.0	0
W _{Ma}	95.41	0.0	0.0	0.0	0
R _{Ma}	39.92	58.74	27.99	65.07	25
J _{Ma}	81.26	-2.89	71.56	71.62	92
G _{Ma}	52.23	-42.42	13.6	44.55	162
B _{Ma}	30.57	1.41	-46.47	46.49	272

Daten für Maximalfarbe (Ma):

$LAB^*LAB^*_{Ma}$: 85 -71 50

$LAB^*LCH^*_{Ma}$: 85 87 144

$lab^*rgb^*_{Ma}$: 0.25 1.0 0.0

$lab^*olv^*_{Ma}$: 0.0 1.0 0.14

Dreiecks-Helligkeit t^*

%Umfang

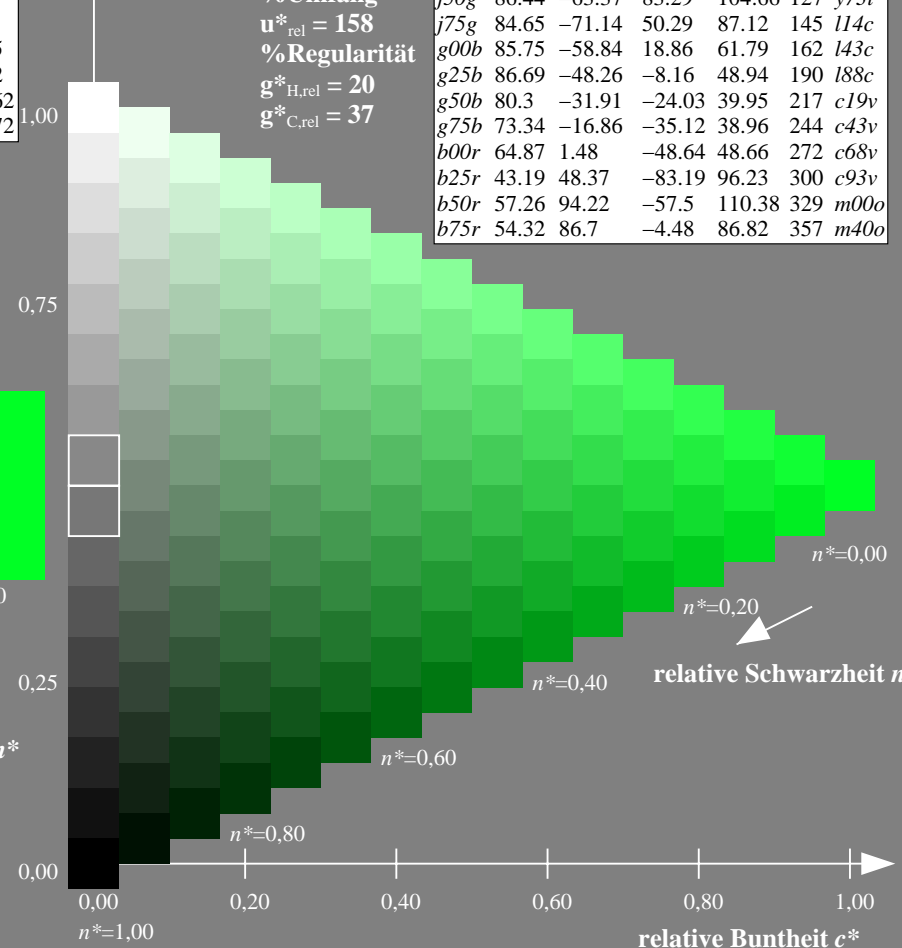
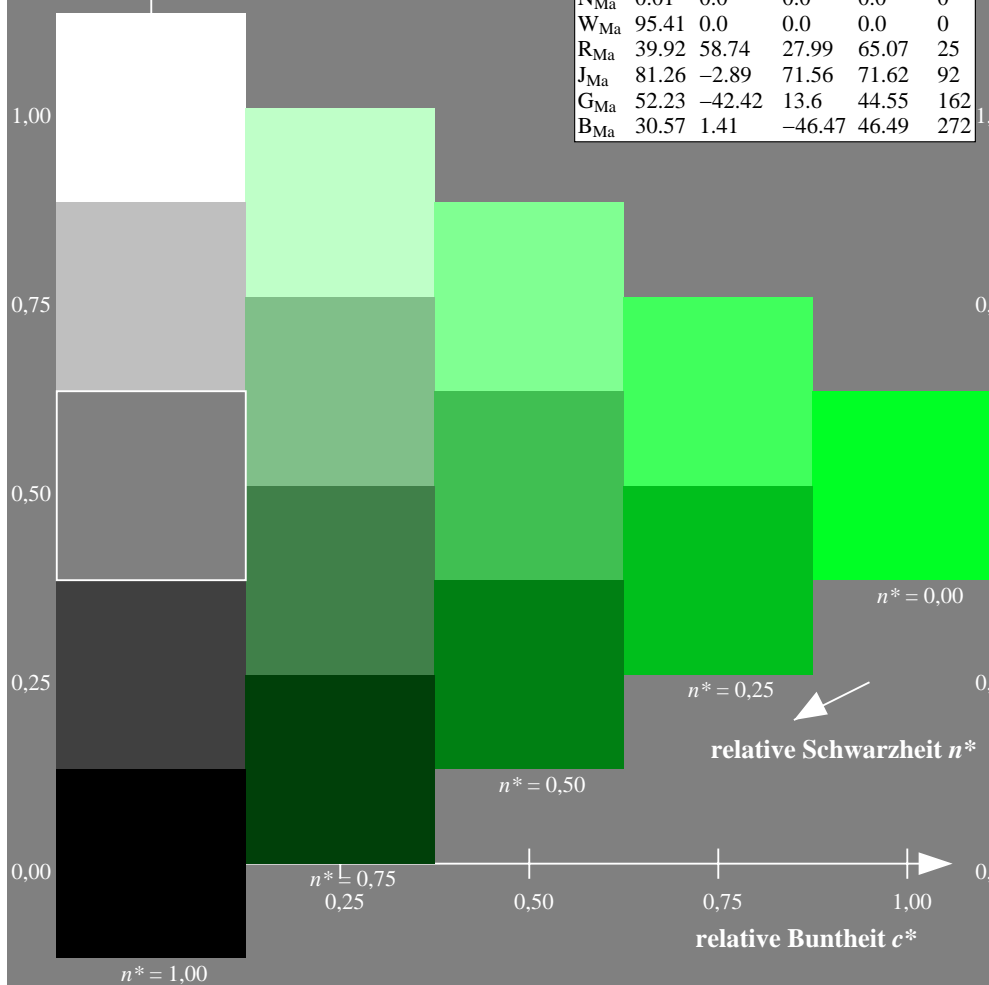
$u^*_{rel} = 158$

%Regularität

$g^*_{H,rel} = 20$

$g^*_{C,rel} = 37$

TLS00a; adaptierte CIELAB-Daten						
u^*	L^*_a	a^*_a	b^*_a	$C^*_{ab,a}$	$h^*_{ab,a}$	d^*
r00j	51.95	80.62	38.41	89.3	25	m79o
r25j	52.4	72.52	65.73	97.88	42	o03y
r50j	64.61	44.24	73.32	85.63	59	o30y
r75j	74.89	20.46	79.71	82.29	76	o56y
j00g	85.23	-3.48	86.13	86.2	92	o82y
j25g	91.02	-31.95	88.78	94.35	110	y21l
j50g	86.44	-63.37	83.29	104.66	127	y73l
j75g	84.65	-71.14	50.29	87.12	145	l14c
g00b	85.75	-58.84	18.86	61.79	162	l43c
g25b	86.69	-48.26	-8.16	48.94	190	l88c
g50b	80.3	-31.91	-24.03	39.95	217	c19v
g75b	73.34	-16.86	-35.12	38.96	244	c43v
b00r	64.87	1.48	-48.64	48.66	272	c68v
b25r	43.19	48.37	-83.19	96.23	300	c93v
b50r	57.26	94.22	-57.5	110.38	329	m00o
b75r	54.32	86.7	-4.48	86.82	357	m40o



Ein und Ausgabe: Farbmatisches Fernseh-Lichtfarben-System TLS00a für relativen CIELAB-Buntton $h^* = lab^*h^* = h_{ab}/360 = 0.451$

Daten für jede Farbe:

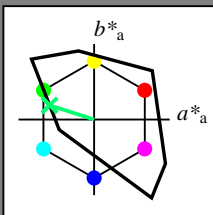
lab^*tch^* und lab^*ncu^*

Elementar- und Geräte-

Bunttontext:

$u^* = g00b$ $d^* = l43c$

Dreiecks-Helligkeit t^*



TLS00a; adaptierte CIELAB-Daten						
Name	L^*_a	a^*_a	b^*_a	$C^*_{ab,a}$	$h^*_{ab,a}$	
O _{Ma}	50.5	76.91	64.55	100.41	40	
Y _{Ma}	92.66	-20.68	90.75	93.08	103	
L _{Ma}	83.62	-82.74	79.9	115.02	136	
C _{Ma}	86.88	-46.15	-13.54	48.1	196	
V _{Ma}	30.39	76.06	-103.6	128.52	306	
M _{Ma}	57.31	94.35	-58.4	110.96	328	
N _{Ma}	0.01	0.0	0.0	0.0	0	
W _{Ma}	95.41	0.0	0.0	0.0	0	
R _{Ma}	39.92	58.74	27.99	65.07	25	
J _{Ma}	81.26	-2.89	71.56	71.62	92	
G _{Ma}	52.23	-42.42	13.6	44.55	162	
B _{Ma}	30.57	1.41	-46.47	46.49	272	

Daten für Maximalfarbe (Ma):

$LAB^*LAB^*_{Ma}$: 86 -59 19

$LAB^*LCH^*_{Ma}$: 86 62 162

$lab^*rgb^*_{Ma}$: 0.0 1.0 0.0

$lab^*olv^*_{Ma}$: 0.0 1.0 0.43

Dreiecks-Helligkeit t^*

%Umfang

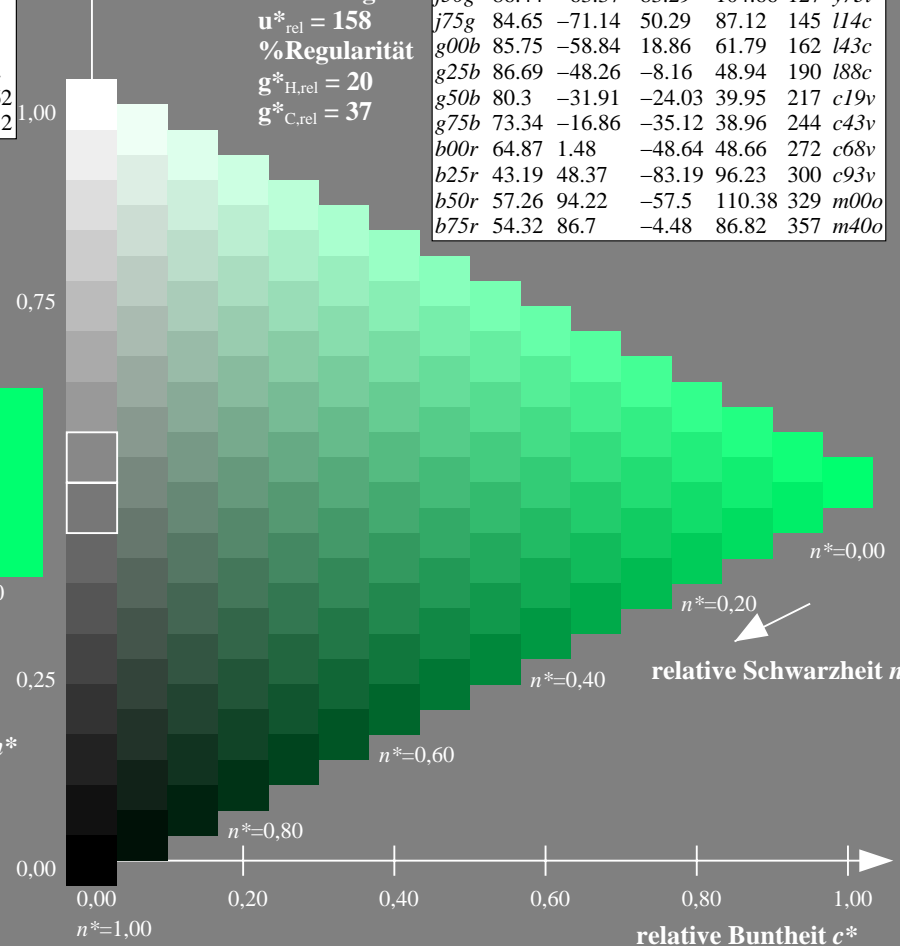
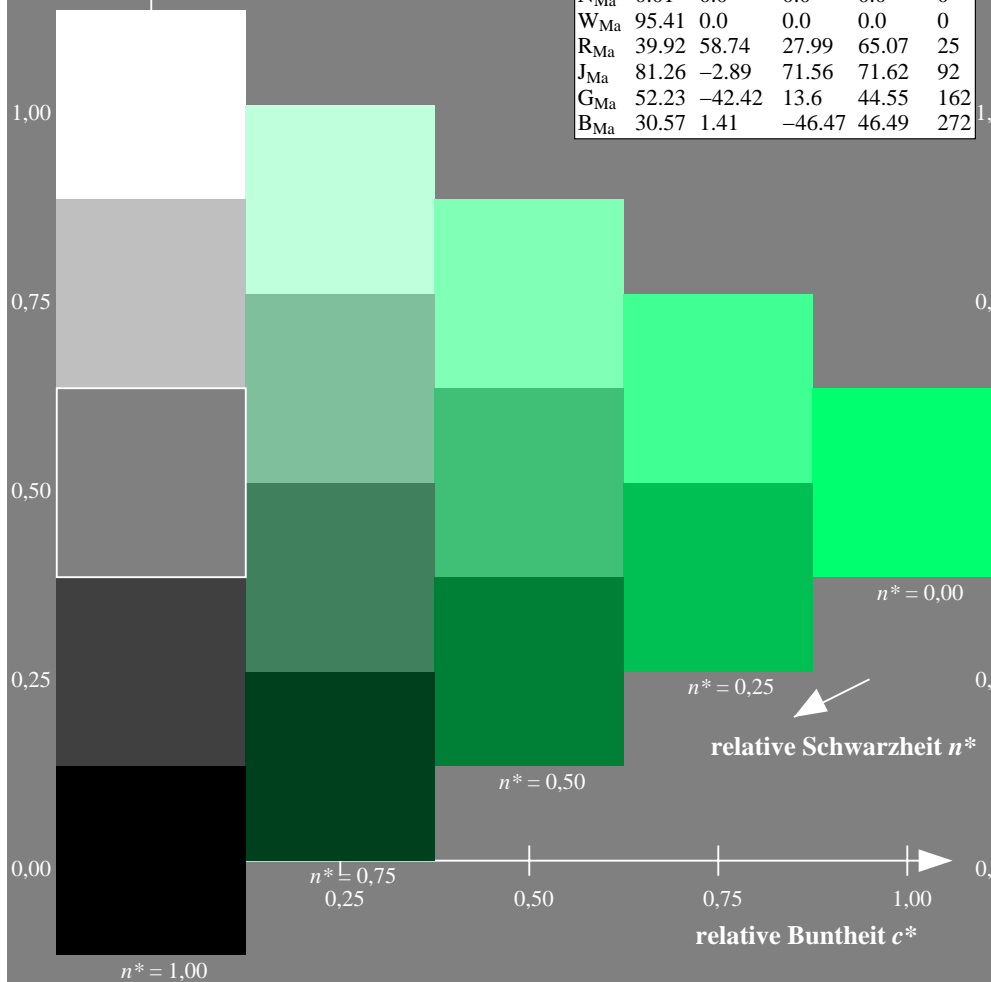
$u^*_{rel} = 158$

%Regularität

$g^*_{H,rel} = 20$

$g^*_{C,rel} = 37$

TLS00a; adaptierte CIELAB-Daten						
u^*	L^*_a	a^*_a	b^*_a	$C^*_{ab,a}$	$h^*_{ab,a}$	d^*
r00j	51.95	80.62	38.41	89.3	25	m79o
r25j	52.4	72.52	65.73	97.88	42	o03y
r50j	64.61	44.24	73.32	85.63	59	o30y
r75j	74.89	20.46	79.71	82.29	76	o56y
j00g	85.23	-3.48	86.13	86.2	92	o82y
j25g	91.02	-31.95	88.78	94.35	110	y21l
j50g	86.44	-63.37	83.29	104.66	127	y73l
j75g	84.65	-71.14	50.29	87.12	145	l14c
g00b	85.75	-58.84	18.86	61.79	162	l43c
g25b	86.69	-48.26	-8.16	48.94	190	l88c
g50b	80.3	-31.91	-24.03	39.95	217	c19v
g75b	73.34	-16.86	-35.12	38.96	244	c43v
b00r	64.87	1.48	-48.64	48.66	272	c68v
b25r	43.19	48.37	-83.19	96.23	300	c93v
b50r	57.26	94.22	-57.5	110.38	329	m00o
b75r	54.32	86.7	-4.48	86.82	357	m40o



Ein und Ausgabe: Farbmatisches Fernseh-Lichtfarben-System TLS00a für relativen CIELAB-Buntton $h^* = lab^*h^* = h_{ab}/360 = 0.527$

Daten für jede Farbe:

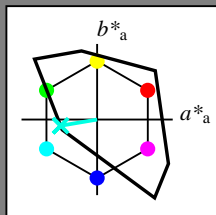
$lab^*_{tch^*}$ und $lab^*_{ncu^*}$

Elementar- und Geräte-

Bunttontext:

$u^* = g25b$ $d^* = l88c$

Dreiecks-Helligkeit t^*



TLS00a; adaptierte CIELAB-Daten					
Name	L^*_a	a^*_a	b^*_a	$C^*_{ab,a}$	$h^*_{ab,a}$
O _{Ma}	50.5	76.91	64.55	100.41	40
Y _{Ma}	92.66	-20.68	90.75	93.08	103
L _{Ma}	83.62	-82.74	79.9	115.02	136
C _{Ma}	86.88	-46.15	-13.54	48.1	196
V _{Ma}	30.39	76.06	-103.6	128.52	306
M _{Ma}	57.31	94.35	-58.4	110.96	328
N _{Ma}	0.01	0.0	0.0	0.0	0
W _{Ma}	95.41	0.0	0.0	0.0	0
R _{Ma}	39.92	58.74	27.99	65.07	25
J _{Ma}	81.26	-2.89	71.56	71.62	92
G _{Ma}	52.23	-42.42	13.6	44.55	162
B _{Ma}	30.57	1.41	-46.47	46.49	272

Daten für Maximalfarbe (Ma):

$LAB^*_{LAB^*Ma}$: 87 -48 -8

$LAB^*_{LCH^*Ma}$: 87 49 189

$lab^*_{rgb^*Ma}$: 0.0 1.0 0.5

$lab^*_{olv^*Ma}$: 0.0 1.0 0.89

Dreiecks-Helligkeit t^*

%Umfang

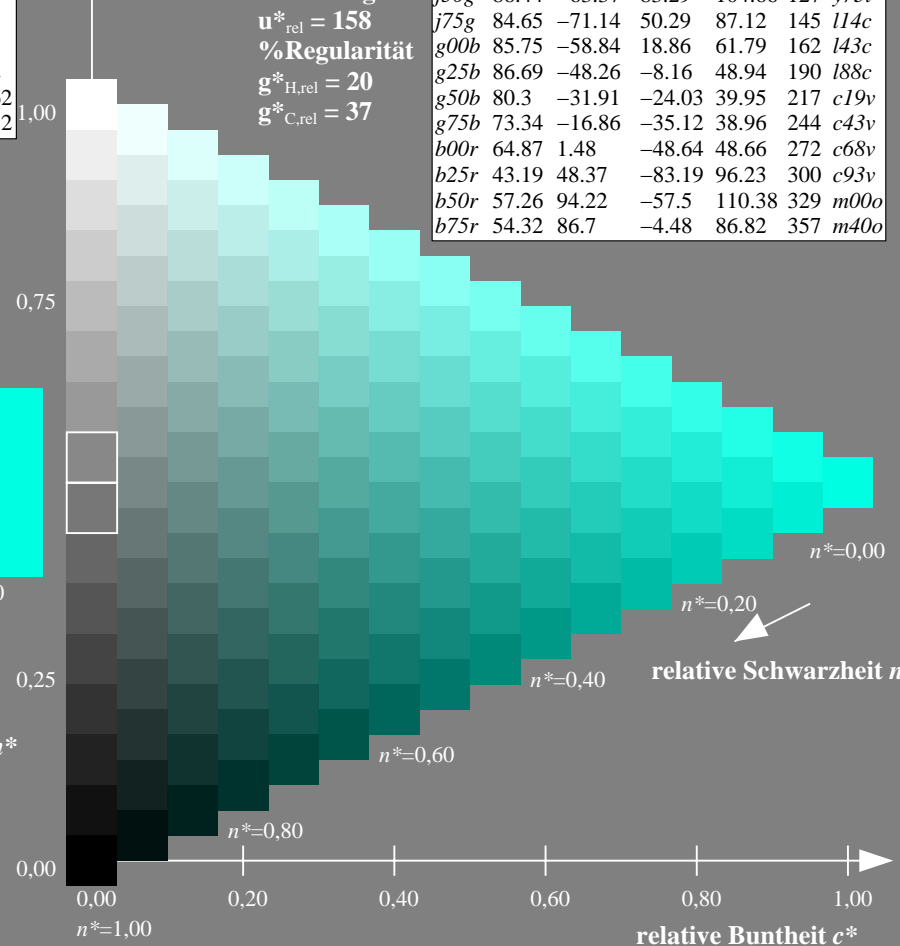
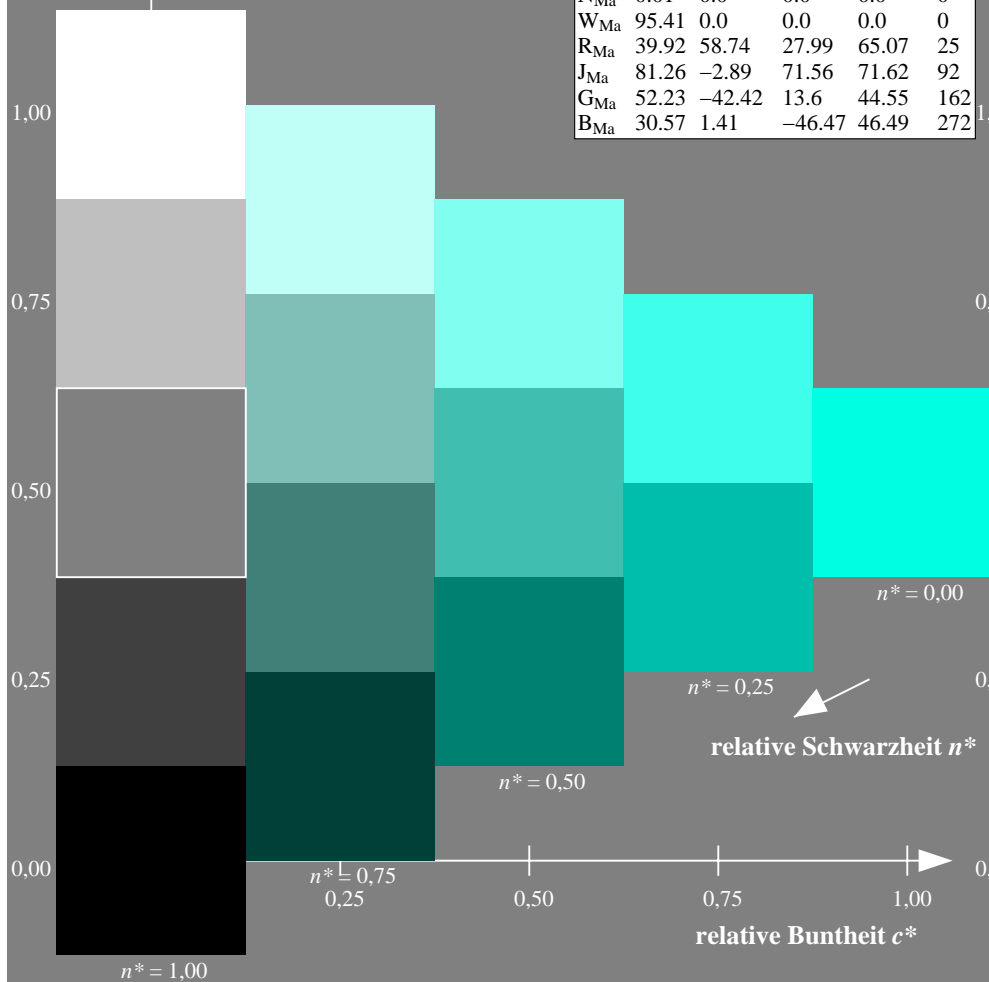
$u^*_{rel} = 158$

%Regularität

$g^*_{H,rel} = 20$

$g^*_{C,rel} = 37$

TLS00a; adaptierte CIELAB-Daten						
u^*	L^*_a	a^*_a	b^*_a	$C^*_{ab,a}$	$h^*_{ab,a}$	d^*
r00j	51.95	80.62	38.41	89.3	25	m79o
r25j	52.4	72.52	65.73	97.88	42	o03y
r50j	64.61	44.24	73.32	85.63	59	o30y
r75j	74.89	20.46	79.71	82.29	76	o56y
j00g	85.23	-3.48	86.13	86.2	92	o82y
j25g	91.02	-31.95	88.78	94.35	110	y21l
j50g	86.44	-63.37	83.29	104.66	127	y73l
j75g	84.65	-71.14	50.29	87.12	145	l14c
g00b	85.75	-58.84	18.86	61.79	162	l43c
g25b	86.69	-48.26	-8.16	48.94	190	l88c
g50b	80.3	-31.91	-24.03	39.95	217	c19v
g75b	73.34	-16.86	-35.12	38.96	244	c43v
b00r	64.87	1.48	-48.64	48.66	272	c68v
b25r	43.19	48.37	-83.19	96.23	300	c93v
b50r	57.26	94.22	-57.5	110.38	329	m00o
b75r	54.32	86.7	-4.48	86.82	357	m40o



Ein und Ausgabe: Farbmatisches Fernseh-Lichtfarben-System TLS00a für relativen CIELAB-Buntton $h^* = lab^*h^* = h_{ab}/360 = 0.603$

Daten für jede Farbe:

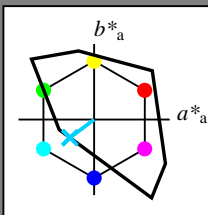
$lab^*_{tch^*}$ und $lab^*_{ncu^*}$

Elementar- und Geräte-

Bunttontext:

$u^* = g50b$ $d^* = c19v$

Dreiecks-Helligkeit t^*



TLS00a; adaptierte CIELAB-Daten						
Name	L^*_a	a^*_a	b^*_a	$C^*_{ab,a}$	$h^*_{ab,a}$	
O _{Ma}	50.5	76.91	64.55	100.41	40	
Y _{Ma}	92.66	-20.68	90.75	93.08	103	
L _{Ma}	83.62	-82.74	79.9	115.02	136	
C _{Ma}	86.88	-46.15	-13.54	48.1	196	
V _{Ma}	30.39	76.06	-103.6	128.52	306	
M _{Ma}	57.31	94.35	-58.4	110.96	328	
N _{Ma}	0.01	0.0	0.0	0.0	0	
W _{Ma}	95.41	0.0	0.0	0.0	0	
R _{Ma}	39.92	58.74	27.99	65.07	25	
J _{Ma}	81.26	-2.89	71.56	71.62	92	
G _{Ma}	52.23	-42.42	13.6	44.55	162	
B _{Ma}	30.57	1.41	-46.47	46.49	272	

Daten für Maximalfarbe (Ma):

$LAB^*_{LAB^*Ma}$: 80 -32 -24

$LAB^*_{LCH^*Ma}$: 80 40 216

$lab^*_{rgb^*Ma}$: 0.0 1.0 1.0

$lab^*_{olv^*Ma}$: 0.0 0.81 1.0

Dreiecks-Helligkeit t^*

%Umfang

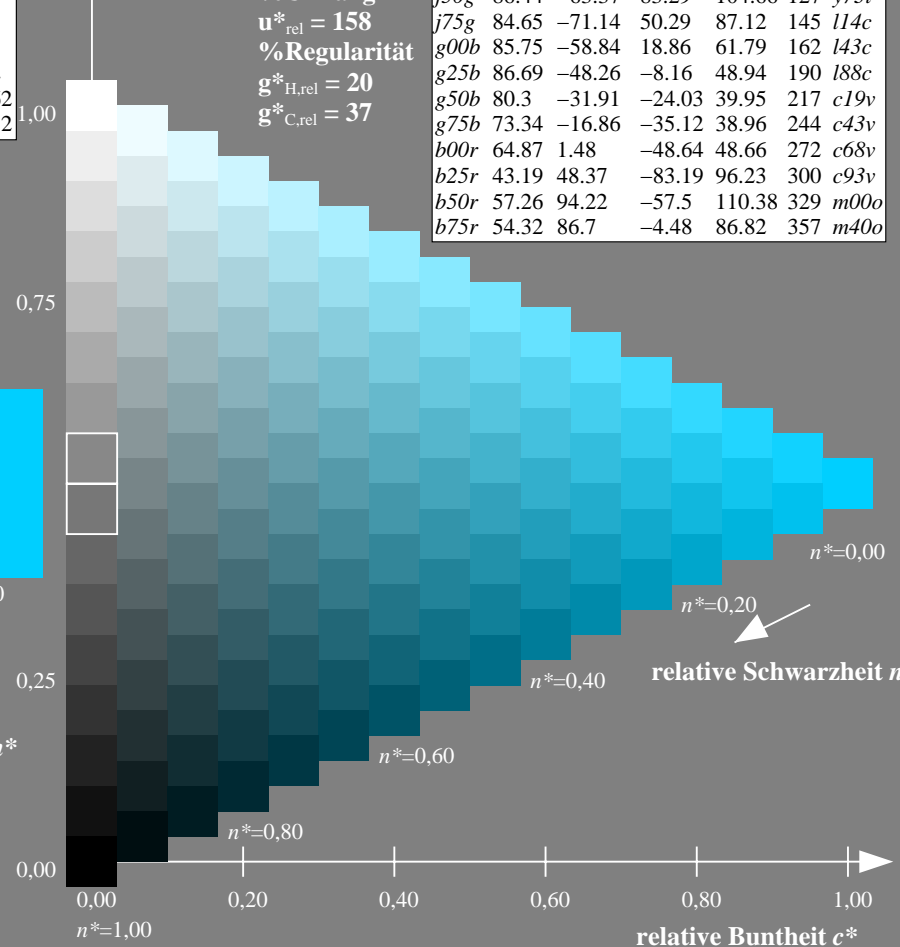
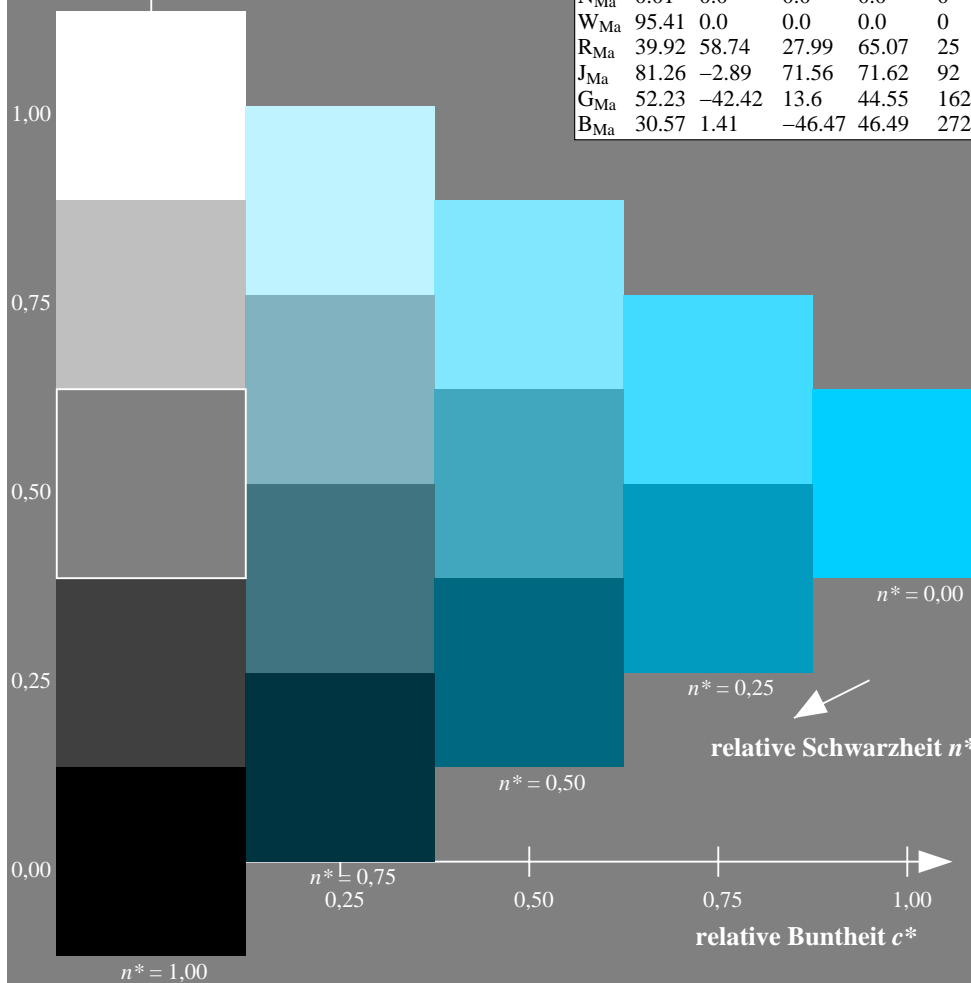
$u^*_{rel} = 158$

%Regularität

$g^*_{H,rel} = 20$

$g^*_{C,rel} = 37$

TLS00a; adaptierte CIELAB-Daten							
u^*	L^*_a	a^*_a	b^*_a	$C^*_{ab,a}$	$h^*_{ab,a}$	d^*	
r00j	51.95	80.62	38.41	89.3	25	m79o	
r25j	52.4	72.52	65.73	97.88	42	o03y	
r50j	64.61	44.24	73.32	85.63	59	o30y	
r75j	74.89	20.46	79.71	82.29	76	o56y	
j00g	85.23	-3.48	86.13	86.2	92	o82y	
j25g	91.02	-31.95	88.78	94.35	110	y21l	
j50g	86.44	-63.37	83.29	104.66	127	y73l	
j75g	84.65	-71.14	50.29	87.12	145	l14c	
g00b	85.75	-58.84	18.86	61.79	162	l43c	
g25b	86.69	-48.26	-8.16	48.94	190	l88c	
g50b	80.3	-31.91	-24.03	39.95	217	c19v	
g75b	73.34	-16.86	-35.12	38.96	244	c43v	
b00r	64.87	1.48	-48.64	48.66	272	c68v	
b25r	43.19	48.37	-83.19	96.23	300	c93v	
b50r	57.26	94.22	-57.5	110.38	329	m00o	
b75r	54.32	86.7	-4.48	86.82	357	m40o	



Ein und Ausgabe: Farbmatisches Fernseh-Lichtfarben-System TLS00a für relativen CIELAB-Buntton $h^* = lab^*h^* = h_{ab}/360 = 0.679$

Daten für jede Farbe:

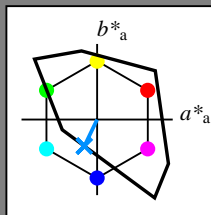
lab^*ch^* und lab^*ncu^*

Elementar- und Geräte-

Bunttontext:

$u^* = g75b$ $d^* = c43v$

Dreiecks-Helligkeit t^*



TLS00a; adaptierte CIELAB-Daten					
Name	L^*_a	a^*_a	b^*_a	$C^*_{ab,a}$	$h^*_{ab,a}$
O _{Ma}	50.5	76.91	64.55	100.41	40
Y _{Ma}	92.66	-20.68	90.75	93.08	103
L _{Ma}	83.62	-82.74	79.9	115.02	136
C _{Ma}	86.88	-46.15	-13.54	48.1	196
V _{Ma}	30.39	76.06	-103.6	128.52	306
M _{Ma}	57.31	94.35	-58.4	110.96	328
N _{Ma}	0.01	0.0	0.0	0.0	0
W _{Ma}	95.41	0.0	0.0	0.0	0
R _{Ma}	39.92	58.74	27.99	65.07	25
J _{Ma}	81.26	-2.89	71.56	71.62	92
G _{Ma}	52.23	-42.42	13.6	44.55	162
B _{Ma}	30.57	1.41	-46.47	46.49	272

Daten für Maximalfarbe (Ma):

$LAB^*LAB^*_{Ma}$: 73 -17 -35

$LAB^*LCH^*_{Ma}$: 73 39 244

$lab^*rgb^*_{Ma}$: 0.0 0.5 1.0

$lab^*olv^*_{Ma}$: 0.0 0.56 1.0

Dreiecks-Helligkeit t^*

%Umfang

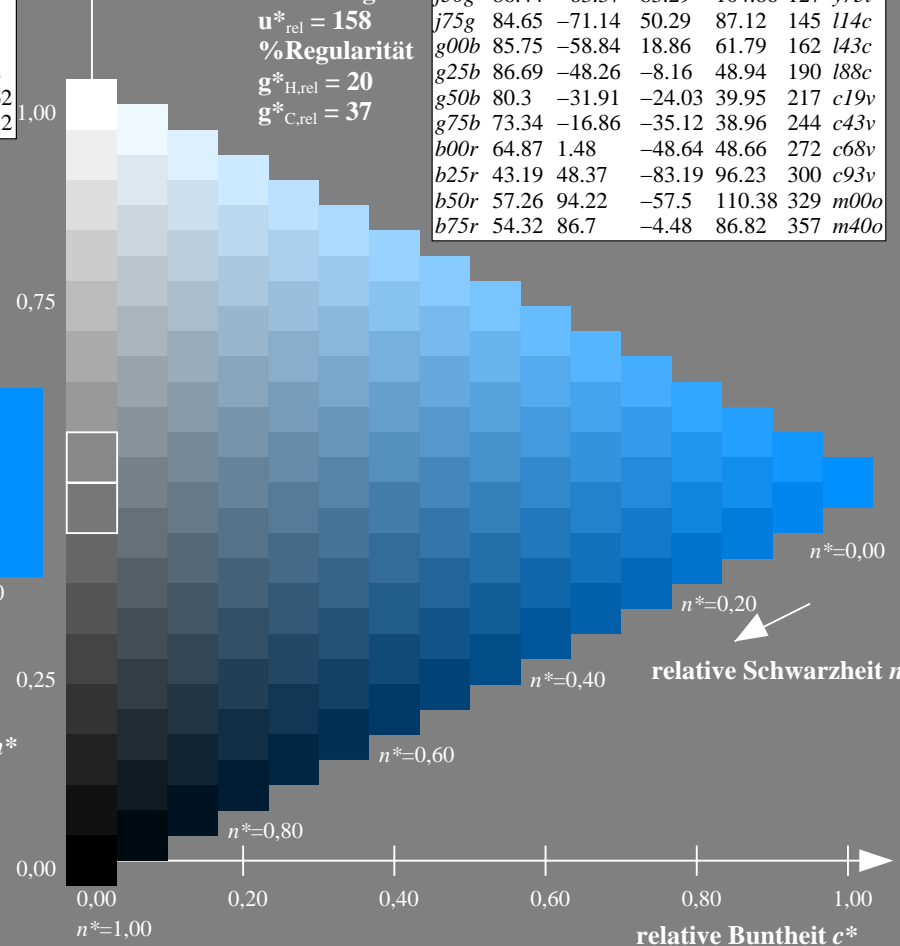
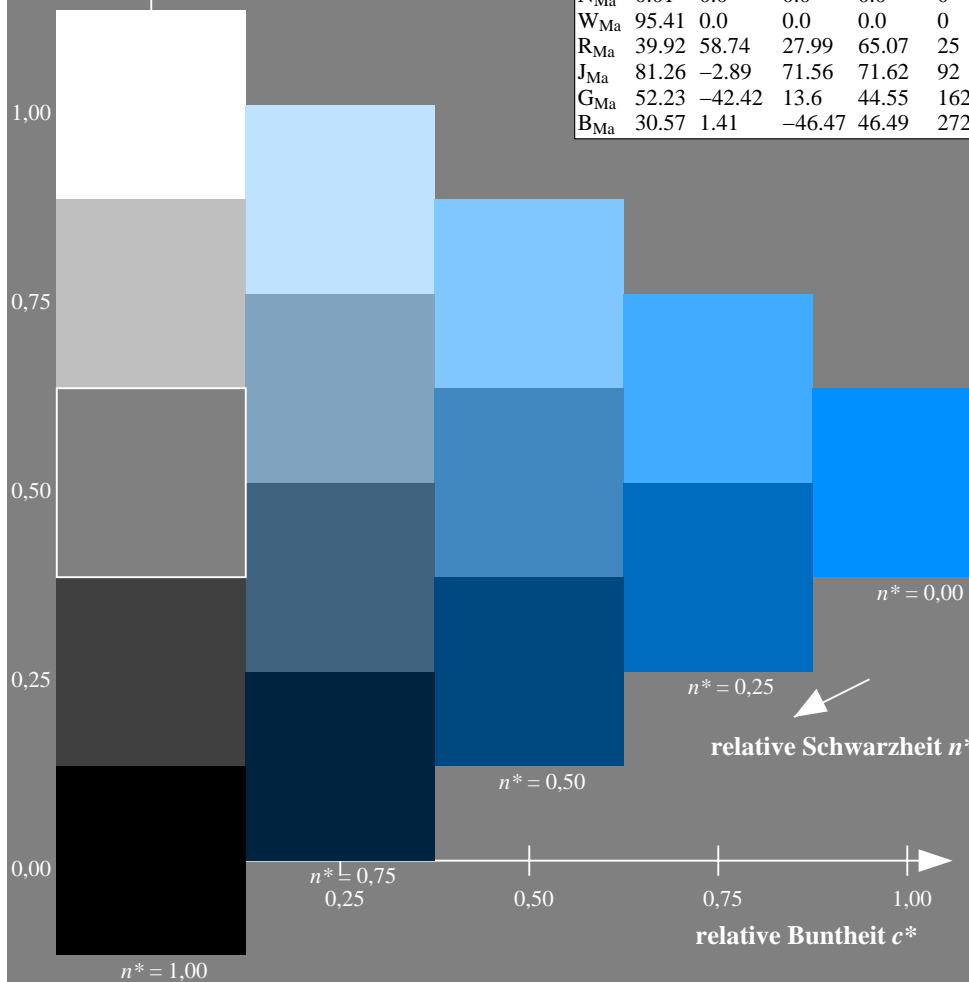
$u^*_{rel} = 158$

%Regularität

$g^*_{H,rel} = 20$

$g^*_{C,rel} = 37$

TLS00a; adaptierte CIELAB-Daten						
u^*	L^*_a	a^*_a	b^*_a	$C^*_{ab,a}$	$h^*_{ab,a}$	d^*
r00j	51.95	80.62	38.41	89.3	25	m79o
r25j	52.4	72.52	65.73	97.88	42	o03y
r50j	64.61	44.24	73.32	85.63	59	o30y
r75j	74.89	20.46	79.71	82.29	76	o56y
j00g	85.23	-3.48	86.13	86.2	92	o82y
j25g	91.02	-31.95	88.78	94.35	110	y21l
j50g	86.44	-63.37	83.29	104.66	127	y73l
j75g	84.65	-71.14	50.29	87.12	145	l14c
g00b	85.75	-58.84	18.86	61.79	162	l43c
g25b	86.69	-48.26	-8.16	48.94	190	l88c
g50b	80.3	-31.91	-24.03	39.95	217	c19v
g75b	73.34	-16.86	-35.12	38.96	244	c43v
b00r	64.87	1.48	-48.64	48.66	272	c68v
b25r	43.19	48.37	-83.19	96.23	300	c93v
b50r	57.26	94.22	-57.5	110.38	329	m00o
b75r	54.32	86.7	-4.48	86.82	357	m40o



Ein und Ausgabe: Farbmétrisches Fernseh-Lichtfarben-System TLS00a für relativen CIELAB-Buntton $h^* = lab^*h^* = h_{ab}/360 = 0.755$

Daten für jede Farbe:

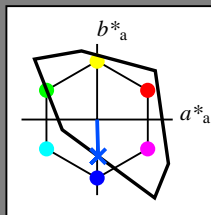
$lab^*_{tch^*}$ und $lab^*_{ncu^*}$

Elementar- und Geräte-

Bunttontext:

$u^* = b00r$ $d^* = c68v$

Dreiecks-Helligkeit t^*



TLS00a; adaptierte CIELAB-Daten					
Name	$L^*_{a^*}$	$a^*_{a^*}$	$b^*_{a^*}$	$C^*_{ab,a}$	$h^*_{ab,a}$
O _{Ma}	50.5	76.91	64.55	100.41	40
Y _{Ma}	92.66	-20.68	90.75	93.08	103
L _{Ma}	83.62	-82.74	79.9	115.02	136
C _{Ma}	86.88	-46.15	-13.54	48.1	196
V _{Ma}	30.39	76.06	-103.6	128.52	306
M _{Ma}	57.31	94.35	-58.4	110.96	328
N _{Ma}	0.01	0.0	0.0	0.0	0
W _{Ma}	95.41	0.0	0.0	0.0	0
R _{Ma}	39.92	58.74	27.99	65.07	25
J _{Ma}	81.26	-2.89	71.56	71.62	92
G _{Ma}	52.23	-42.42	13.6	44.55	162
B _{Ma}	30.57	1.41	-46.47	46.49	272

Daten für Maximalfarbe (Ma):

$LAB^*_{LAB^*Ma}$: 65 1 -49

$LAB^*_{LCH^*Ma}$: 65 49 271

$lab^*_{rgb^*Ma}$: 0.0 0.0 1.0

$lab^*_{olv^*Ma}$: 0.0 0.31 1.0

Dreiecks-Helligkeit t^*

%Umfang

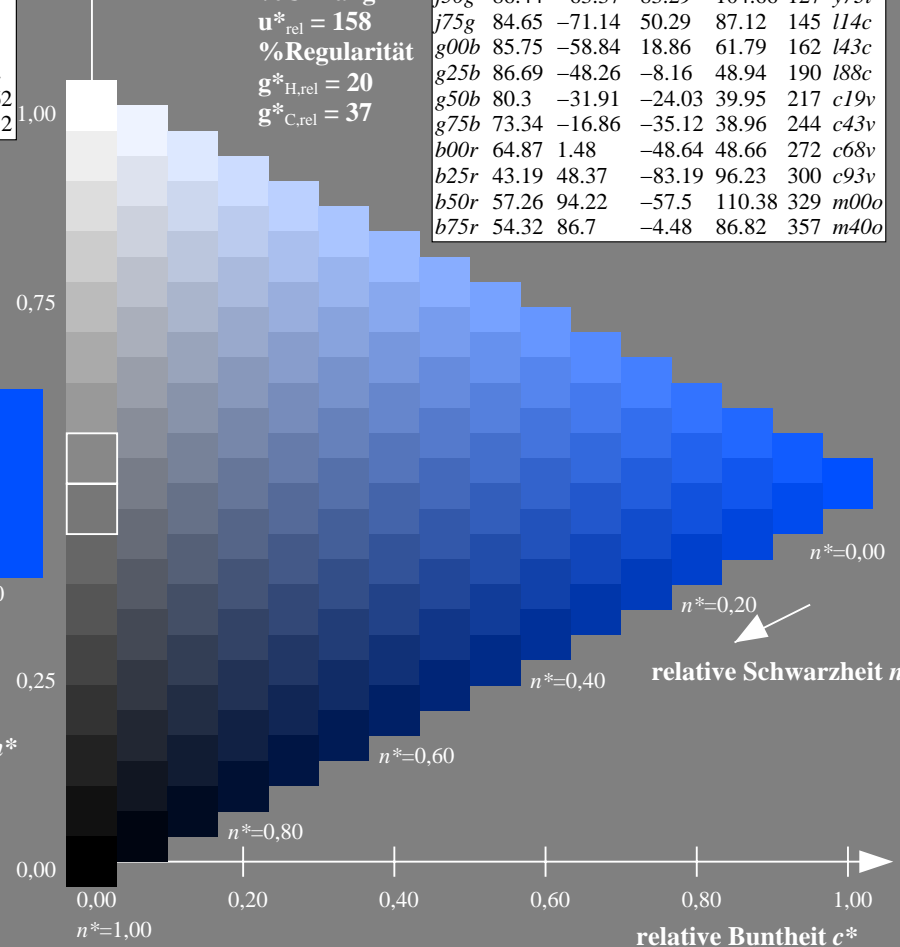
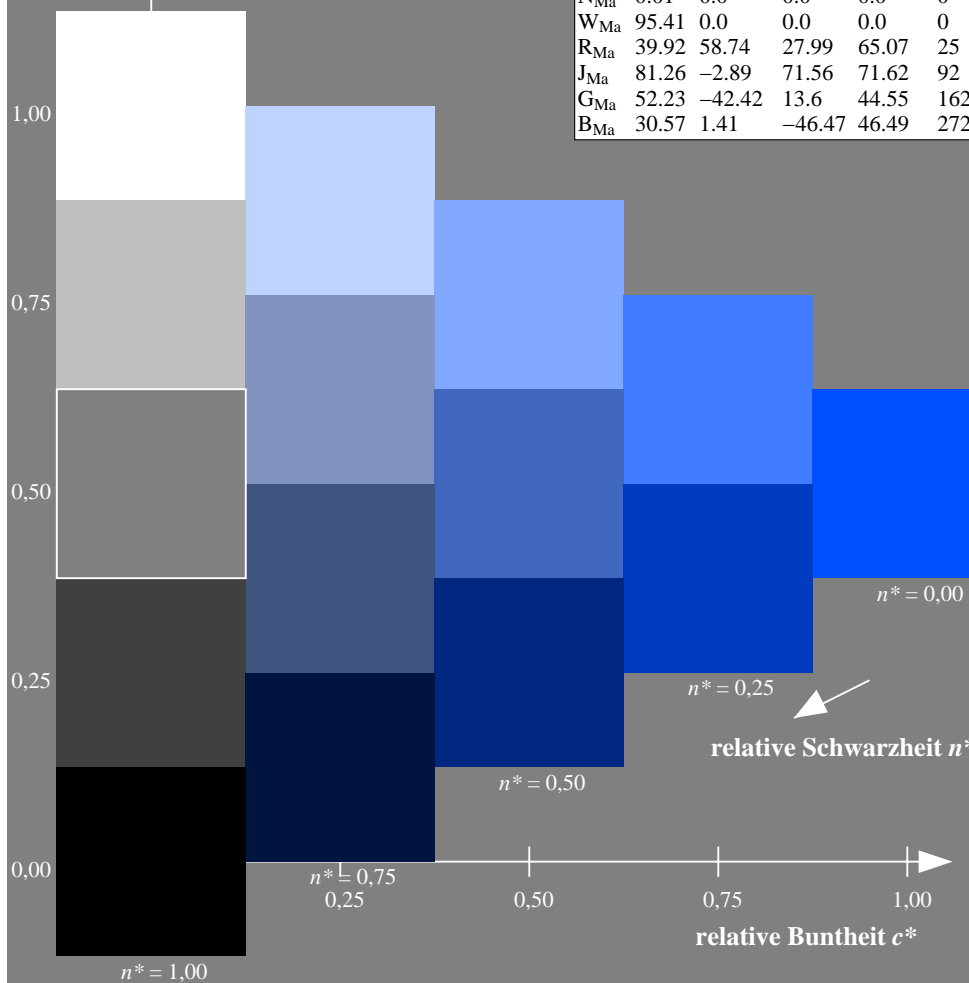
$u^*_{rel} = 158$

%Regularität

$g^*_{H,rel} = 20$

$g^*_{C,rel} = 37$

TLS00a; adaptierte CIELAB-Daten						
u^*	$L^*_{a^*}$	$a^*_{a^*}$	$b^*_{a^*}$	$C^*_{ab,a}$	$h^*_{ab,a}$	d^*
r00j	51.95	80.62	38.41	89.3	25	m79o
r25j	52.4	72.52	65.73	97.88	42	o03y
r50j	64.61	44.24	73.32	85.63	59	o30y
r75j	74.89	20.46	79.71	82.29	76	o56y
j00g	85.23	-3.48	86.13	86.2	92	o82y
j25g	91.02	-31.95	88.78	94.35	110	y21l
j50g	86.44	-63.37	83.29	104.66	127	y73l
j75g	84.65	-71.14	50.29	87.12	145	l14c
g00b	85.75	-58.84	18.86	61.79	162	l43c
g25b	86.69	-48.26	-8.16	48.94	190	l88c
g50b	80.3	-31.91	-24.03	39.95	217	c19v
g75b	73.34	-16.86	-35.12	38.96	244	c43v
b00r	64.87	1.48	-48.64	48.66	272	c68v
b25r	43.19	48.37	-83.19	96.23	300	c93v
b50r	57.26	94.22	-57.5	110.38	329	m00o
b75r	54.32	86.7	-4.48	86.82	357	m40o



Ein und Ausgabe: Farbmatisches Fernseh-Lichtfarben-System TLS00a für relativen CIELAB-Buntton $h^* = lab^*h^* = h_{ab}/360 = 0.834$

Daten für jede Farbe:

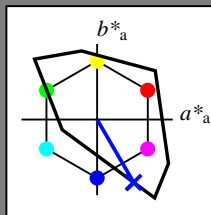
lab^*tch^* und lab^*ncu^*

Elementar- und Geräte-

Bunttontext:

$u^* = b25r$ $d^* = c93v$

Dreiecks-Helligkeit t^*



TLS00a; adaptierte CIELAB-Daten					
Name	L^*_a	a^*_a	b^*_a	$C^*_{ab,a}$	$h^*_{ab,a}$
O _{Ma}	50.5	76.91	64.55	100.41	40
Y _{Ma}	92.66	-20.68	90.75	93.08	103
L _{Ma}	83.62	-82.74	79.9	115.02	136
C _{Ma}	86.88	-46.15	-13.54	48.1	196
V _{Ma}	30.39	76.06	-103.6	128.52	306
M _{Ma}	57.31	94.35	-58.4	110.96	328
N _{Ma}	0.01	0.0	0.0	0.0	0
W _{Ma}	95.41	0.0	0.0	0.0	0
R _{Ma}	39.92	58.74	27.99	65.07	25
J _{Ma}	81.26	-2.89	71.56	71.62	92
G _{Ma}	52.23	-42.42	13.6	44.55	162
B _{Ma}	30.57	1.41	-46.47	46.49	272

Daten für Maximalfarbe (Ma):

$LAB^*LAB^*_{Ma}$: 43 48 -83

$LAB^*LCH^*_{Ma}$: 43 96 300

$lab^*rgb^*_{Ma}$: 0.5 0.0 1.0

$lab^*olv^*_{Ma}$: 0.0 0.06 1.0

Dreiecks-Helligkeit t^*

%Umfang

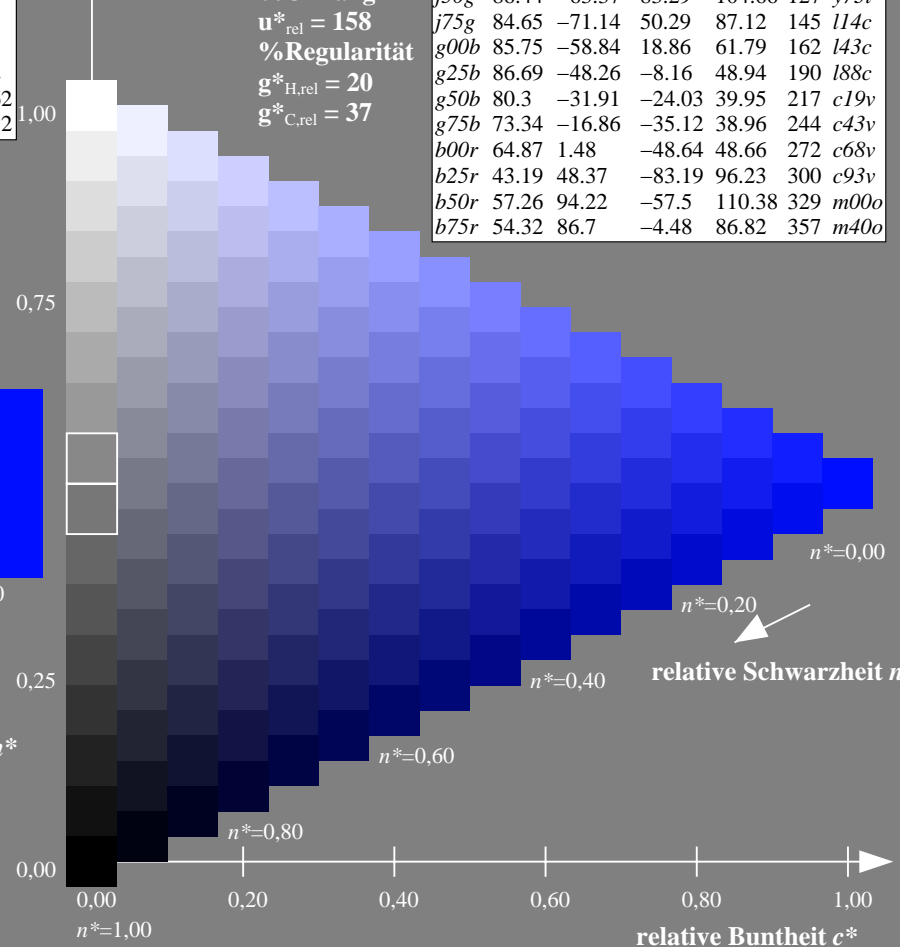
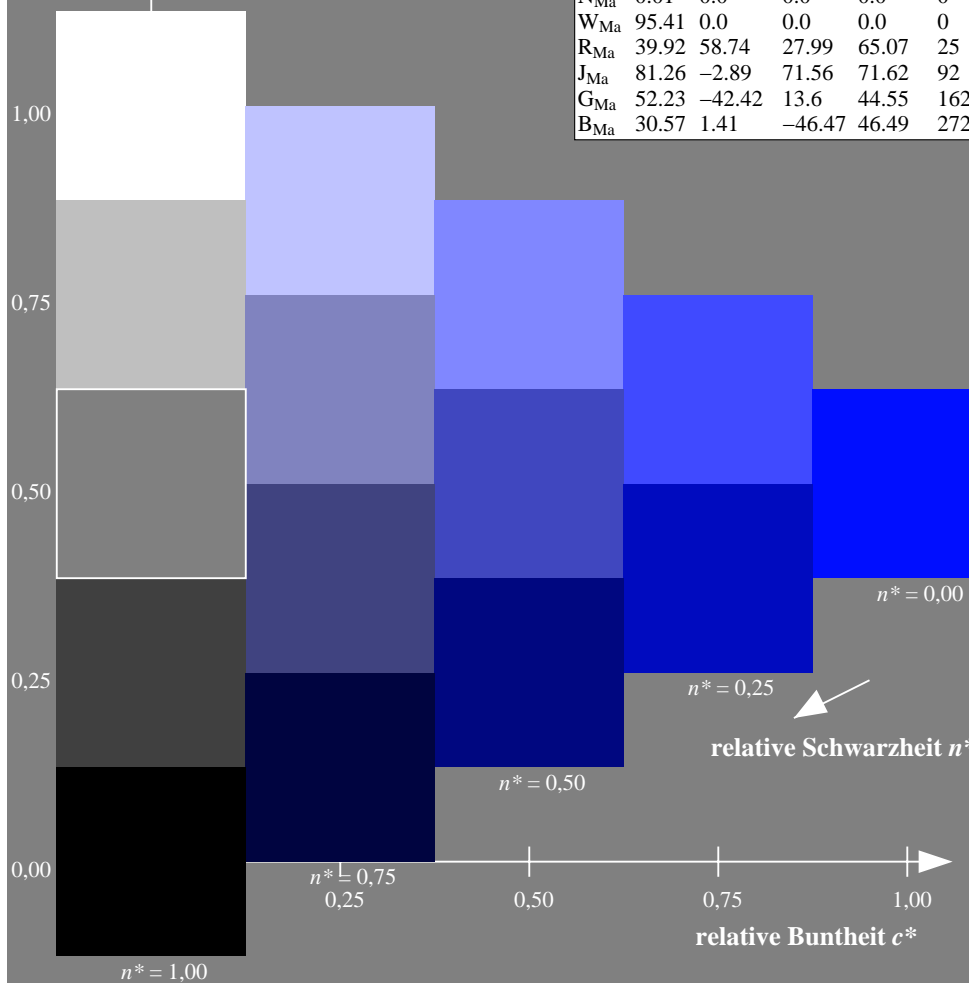
$u^*_{rel} = 158$

%Regularität

$g^*_{H,rel} = 20$

$g^*_{C,rel} = 37$

TLS00a; adaptierte CIELAB-Daten						
u^*	L^*_a	a^*_a	b^*_a	$C^*_{ab,a}$	$h^*_{ab,a}$	d^*
r00j	51.95	80.62	38.41	89.3	25	m79o
r25j	52.4	72.52	65.73	97.88	42	o03y
r50j	64.61	44.24	73.32	85.63	59	o30y
r75j	74.89	20.46	79.71	82.29	76	o56y
j00g	85.23	-3.48	86.13	86.2	92	o82y
j25g	91.02	-31.95	88.78	94.35	110	y21l
j50g	86.44	-63.37	83.29	104.66	127	y73l
j75g	84.65	-71.14	50.29	87.12	145	l14c
g00b	85.75	-58.84	18.86	61.79	162	l43c
g25b	86.69	-48.26	-8.16	48.94	190	l88c
g50b	80.3	-31.91	-24.03	39.95	217	c19v
g75b	73.34	-16.86	-35.12	38.96	244	c43v
b00r	64.87	1.48	-48.64	48.66	272	c68v
b25r	43.19	48.37	-83.19	96.23	300	c93v
b50r	57.26	94.22	-57.5	110.38	329	m00o
b75r	54.32	86.7	-4.48	86.82	357	m40o



Ein und Ausgabe: Farbmatisches Fernseh-Lichtfarben-System TLS00a für relativen CIELAB-Buntton $h^* = lab^*h^* = h_{ab}/360 = 0.913$

Daten für jede Farbe:

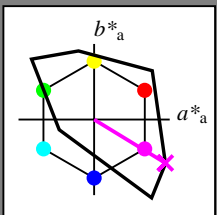
lab^*tch^* und lab^*ncu^*

Elementar- und Geräte-

Bunttontext:

$u^* = b50r$ $d^* = m00o$

Dreiecks-Helligkeit t^*



TLS00a; adaptierte CIELAB-Daten					
Name	L^*_a	a^*_a	b^*_a	$C^*_{ab,a}$	$h^*_{ab,a}$
O _{Ma}	50.5	76.91	64.55	100.41	40
Y _{Ma}	92.66	-20.68	90.75	93.08	103
L _{Ma}	83.62	-82.74	79.9	115.02	136
C _{Ma}	86.88	-46.15	-13.54	48.1	196
V _{Ma}	30.39	76.06	-103.6	128.52	306
M _{Ma}	57.31	94.35	-58.4	110.96	328
N _{Ma}	0.01	0.0	0.0	0.0	0
W _{Ma}	95.41	0.0	0.0	0.0	0
R _{Ma}	39.92	58.74	27.99	65.07	25
J _{Ma}	81.26	-2.89	71.56	71.62	92
G _{Ma}	52.23	-42.42	13.6	44.55	162
B _{Ma}	30.57	1.41	-46.47	46.49	272

Daten für Maximalfarbe (Ma):

$LAB^*LAB^*_{Ma}$: 57 94 -57

$LAB^*LCH^*_{Ma}$: 57 110 328

$lab^*rgb^*_{Ma}$: 1.0 0.0 1.0

$lab^*olv^*_{Ma}$: 1.0 0.0 0.99

Dreiecks-Helligkeit t^*

%Umfang

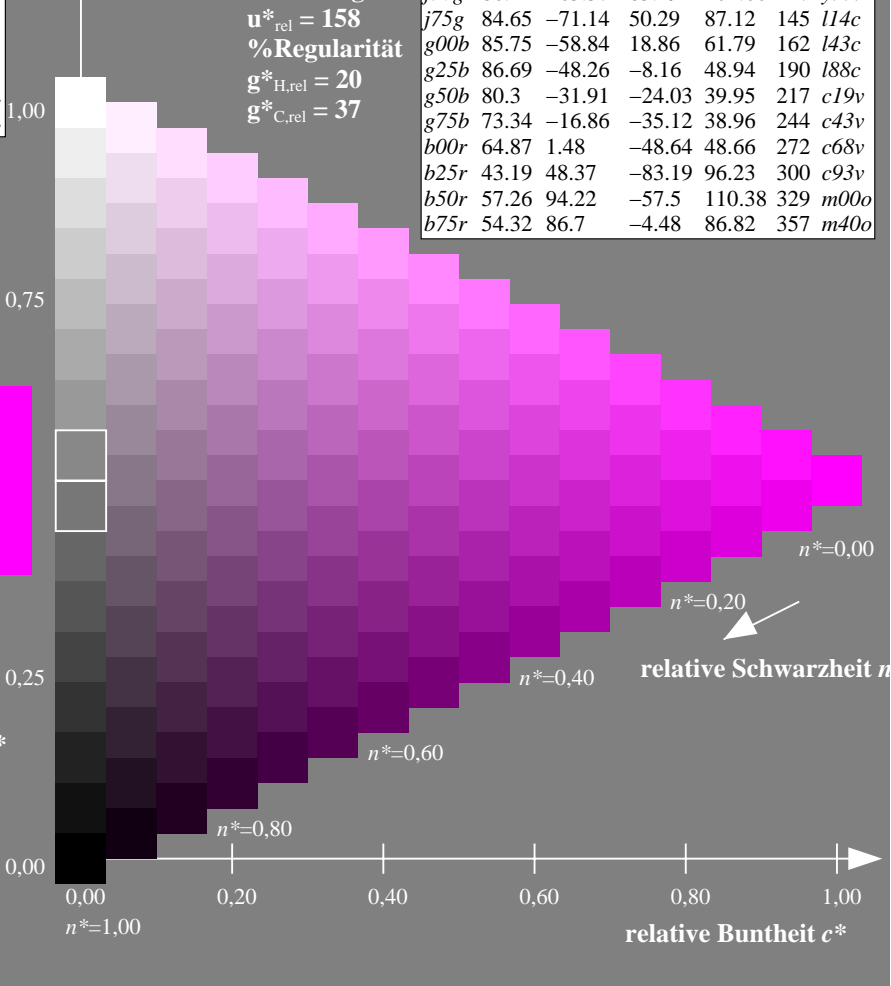
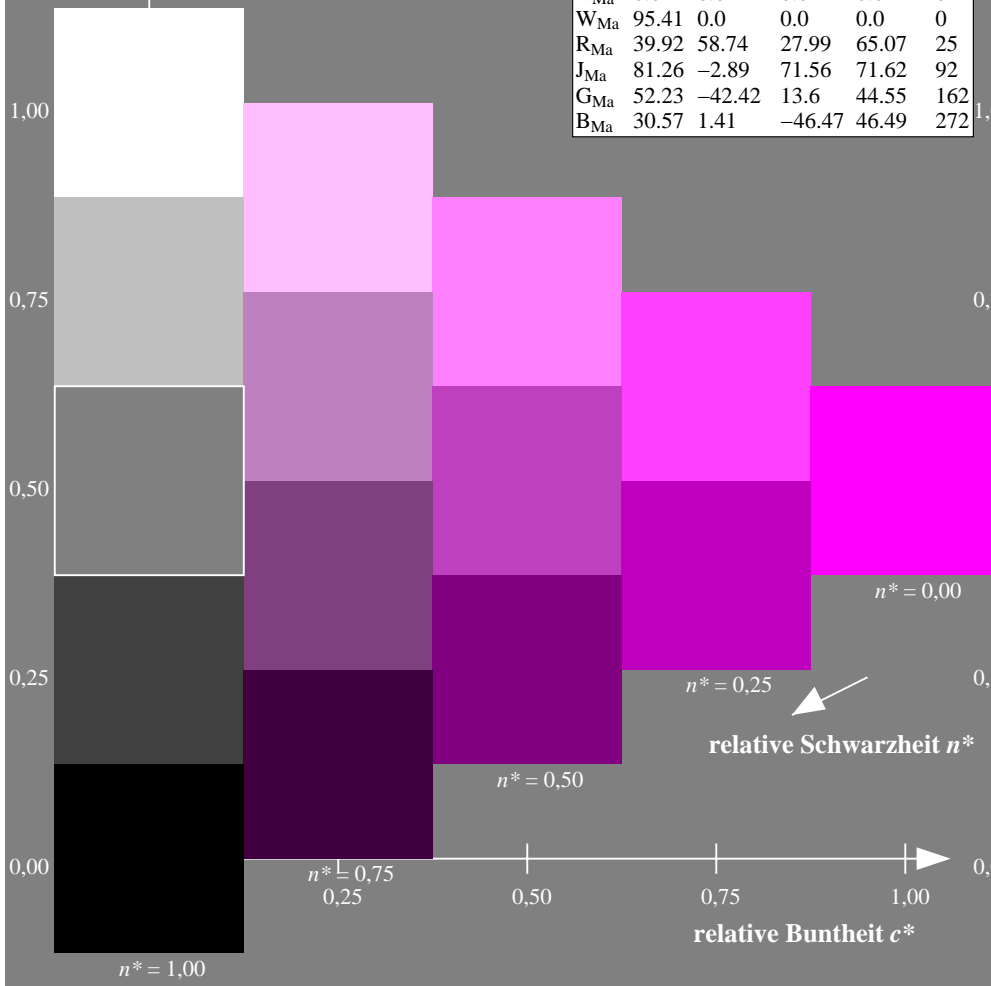
$u^*_{rel} = 158$

%Regularität

$g^*_{H,rel} = 20$

$g^*_{C,rel} = 37$

TLS00a; adaptierte CIELAB-Daten						
u^*	L^*_a	a^*_a	b^*_a	$C^*_{ab,a}$	$h^*_{ab,a}$	d^*
r00j	51.95	80.62	38.41	89.3	25	m79o
r25j	52.4	72.52	65.73	97.88	42	o03y
r50j	64.61	44.24	73.32	85.63	59	o30y
r75j	74.89	20.46	79.71	82.29	76	o56y
j00g	85.23	-3.48	86.13	86.2	92	o82y
j25g	91.02	-31.95	88.78	94.35	110	y21l
j50g	86.44	-63.37	83.29	104.66	127	y73l
j75g	84.65	-71.14	50.29	87.12	145	l14c
g00b	85.75	-58.84	18.86	61.79	162	l43c
g25b	86.69	-48.26	-8.16	48.94	190	l88c
g50b	80.3	-31.91	-24.03	39.95	217	c19v
g75b	73.34	-16.86	-35.12	38.96	244	c43v
b00r	64.87	1.48	-48.64	48.66	272	c68v
b25r	43.19	48.37	-83.19	96.23	300	c93v
b50r	57.26	94.22	-57.5	110.38	329	m00o
b75r	54.32	86.7	-4.48	86.82	357	m40o



Ein und Ausgabe: Farbmatisches Fernseh-Lichtfarben-System TLS00a für relativen CIELAB-Buntton $h^* = lab^*h^* = h_{ab}/360 = 0.992$

Daten für jede Farbe:

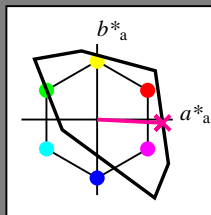
$lab^*_{tch^*}$ und $lab^*_{ncu^*}$

Elementar- und Geräte-

Bunttontext:

$u^* = b75r$ $d^* = m40o$

Dreiecks-Helligkeit t^*



TLS00a; adaptierte CIELAB-Daten					
Name	L^*_a	a^*_a	b^*_a	$C^*_{ab,a}$	$h^*_{ab,a}$
O _{Ma}	50.5	76.91	64.55	100.41	40
Y _{Ma}	92.66	-20.68	90.75	93.08	103
L _{Ma}	83.62	-82.74	79.9	115.02	136
C _{Ma}	86.88	-46.15	-13.54	48.1	196
V _{Ma}	30.39	76.06	-103.6	128.52	306
M _{Ma}	57.31	94.35	-58.4	110.96	328
N _{Ma}	0.01	0.0	0.0	0.0	0
W _{Ma}	95.41	0.0	0.0	0.0	0
R _{Ma}	39.92	58.74	27.99	65.07	25
J _{Ma}	81.26	-2.89	71.56	71.62	92
G _{Ma}	52.23	-42.42	13.6	44.55	162
B _{Ma}	30.57	1.41	-46.47	46.49	272

Daten für Maximalfarbe (Ma):

$LAB^*_{LAB^*Ma}$: 54 87 -4

$LAB^*_{LCH^*Ma}$: 54 87 357

$lab^*_{rgb^*Ma}$: 1.0 0.0 0.5

$lab^*_{olv^*Ma}$: 1.0 0.0 0.6

Dreiecks-Helligkeit t^*

%Umfang

$u^*_{rel} = 158$

%Regularität

$g^*_{H,rel} = 20$

$g^*_{C,rel} = 37$

TLS00a; adaptierte CIELAB-Daten						
u^*	L^*_a	a^*_a	b^*_a	$C^*_{ab,a}$	$h^*_{ab,a}$	d^*
r00j	51.95	80.62	38.41	89.3	25	m79o
r25j	52.4	72.52	65.73	97.88	42	o03y
r50j	64.61	44.24	73.32	85.63	59	o30y
r75j	74.89	20.46	79.71	82.29	76	o56y
j00g	85.23	-3.48	86.13	86.2	92	o82y
j25g	91.02	-31.95	88.78	94.35	110	y21l
j50g	86.44	-63.37	83.29	104.66	127	y73l
j75g	84.65	-71.14	50.29	87.12	145	l14c
g00b	85.75	-58.84	18.86	61.79	162	l43c
g25b	86.69	-48.26	-8.16	48.94	190	l88c
g50b	80.3	-31.91	-24.03	39.95	217	c19v
g75b	73.34	-16.86	-35.12	38.96	244	c43v
b00r	64.87	1.48	-48.64	48.66	272	c68v
b25r	43.19	48.37	-83.19	96.23	300	c93v
b50r	57.26	94.22	-57.5	110.38	329	m00o
b75r	54.32	86.7	-4.48	86.82	357	m40o

